УДК 552.321.6(552.13, 550.4.02)

КОМАТИИТОВЫЕ СУБВУЛКАНИТЫ МАССИВА ГОРЫ ХАНЛАУТА, СЕРПЕНТИНИТОВЫЙ ПОЯС (Кольский полуостров)

А.Ю. Барков¹, А.А. Никифоров¹, Л.П. Баркова¹, А.Э. Изох², В.Н. Королюк²

¹ Череповецкий государственный университет, 162600, Череповец, просп. Луначарского, 5, Россия

² Институт геологии и минералогии им. В.С. Соболева СО РАН, 630090, Новосибирск, просп. Академика Коптюга, 3, Россия

Впервые исследован массив ультрамафитов субвулканического генезиса у подножия горы Ханлаута (Кольский полуостров) на расстоянии ~2 км от юго-западной оконечности расслоенного массива Падос-Тундра дунит-гарцбургит-ортопироксенитового состава, вмещающего зоны хромитовой и нетрадишионной платинометалльной минерализации. Изученное тело сложено микротонкозернистыми гарцбургитами с резко подчиненными ортопироксенитами и обладает скрытозональным строением. Оно имеет субширотное простирание, небольшие размеры с видимой мошностью ~0.1 км и обладает «блоковым» строением коренных выходов, отражающих интенсивное растрескивание тела в ходе дегазации и резкого охлаждения исходного коматиитового расплава. Обнаруженный элемент столбчатой отдельности (гексагонального сечения) согласуется с субвулканической природой тела. В его строении выделяются две зоны. Зона I сформирована более магнезиальным по составу оливином со значениями индекса Mg# 86.0—87.9 (0.15—0.21 мас. % MnO). Зона II характеризуется менее магнезиальным оливином (Mg# 81.8—84.1), имеющим устойчиво более высокую примесь марганца (0.19—0.30 мас. % MnO). Указанная зональность согласуется с латеральным распределением акцессорных хромшпинелидов с максимальными значениями Mg# (более 20) в зоне I. Второстепенные породообразующие минералы представлены ортопироксеном (Мg# 86.3—87.2), амфиболами серии тремолит-актинолит и антофиллитом автометасоматического происхождения. В качестве акцессорных минералов присутствуют зерна ильменита, гематита (~15 мол. % эсколаита, Ст₂О₃, в твердом растворе), одно- и двухфазные зерна сульфидов (локально в срастании с гематитом) со срастаниями Со-содержащего пентландита (Ni/Fe = = 0.9—1.3; 1.00—16.74 мас. % Со; до 1.7—6.8 мас. % Си) и хизлевудита. Вероятный фронт кристаллизации тела продвигался в западном направлении с формированием зоны II из более фракционированного расплава заметно меньшей магнезиальности. Резкий рост значений фугитивности кислорода обеспечил формирование аномальных парагенезисов хромита и ильменита, в которых значения Мg# ильменита значительно превышают Mg# сосуществующего хромита.

Геохимические характеристики пород в отношении петрогенных, малых, рассеянных, редкоземельных и высокозарядных литофильных элементов, а также вариации составов и кристаллизационные тренды хромшпинелидов весьма близки и хорошо согласуются с сопоставляемыми из дифференцированных силлов комплекса Чапесвара, также ассоциирующих с массивом Падос-Тундра. Полученные данные доказывают комагматичность массива горы Ханлаута дифференцированным силлам Чапесвара и расслоенному интрузиву Падос-Тундра. Все они кристаллизовались из весьма примитивной, высокомагнезиальной и сравнительно обогащенной железом и хромом магмы, соответствующей АІнедеплетированным коматиитам, и относятся к единой субвулканоплутонической ассоциации, входящей в мегаструктуру Серпентинитовый пояс—пояс Тулппио (СП—ПТ) предположительно палеопротерозойского возраста.

Массив горы Ханлаута, расслоенный массив Падос-Тундра, субвулканоплутоническая ассоциация, Al-недеплетированные коматииты, дунит-гарцбургит-ортопироксенитовые комплексы, ультрамафитовые породы, выкомагнезиальные ассоциации, Серпентинитовый пояс, Кольский полуостров, Фенноскандинавский щит

KOMATIITIC SUBVOLCANIC ROCKS IN THE MOUNT KHANLAUTA MASSIF, SERPENTINITE BELT (Kola Peninsula)

A.Yu. Barkov, A.A. Nikiforov, L.P. Barkova, A.E. Izokh, V.N. Korolyuk

For the first time, exposures of ultramafic rocks of subvolcanic origin have been investigated at the foot of Mount Khanlauta (Kola Peninsula) located at a distance of \sim 2 km from the southwestern margin of the Pados-Tundra layered complex of dunite—harzburgite—orthopyroxenite composition, which hosts zones of chromitite and unconventional PGE mineralization. The ultramafic body is composed of micro- to fine-grained harzburgite and subordinate orthopyroxenite and has a cryptically zoned structure. The body is of E–W strike and has a small size with an apparent thickness of \sim 0.1 km; the exposed outcrops exhibit a blocky surface as a result of extensive cracking caused by degassing and rapid cooling of a parental komatiitic melt. Elements of columnar

DOI: 10.15372/GiG2021141

parting are recognized, which have a hexagonal shape in cross section and are consistent with the inferred sub-volcanic origin. Two zones are identified. Zone I is formed by a more magnesian olivine with Mg# = 86.0-87.9 (0.15–0.21 wt. % MnO). In Zone II, olivine grains are notably less magnesian (Mg# = 81.8-84.1) and invariably have higher contents of manganese (0.19–0.30 wt. % MnO). The presence of this zoning is corroborated by the lateral distribution of accessory chromian spinel grains with maximum Mg# values (>20) in Zone I. The Khanlauta rocks also contain subordinate orthopyroxene (Mg# = 86.3-87.2), amphiboles of the tremolite–actinolite series, and anthophyllite of deuteric (autometasomatic) origin along with accessory minerals: ilmenite, hematite (~15 mol.% escolaite, Cr_2O_3 , in solid solution), and mono- and diphase grains of sulfides in the form of intergrowths of Co-bearing pentlandite (Ni/Fe = 0.9-1.3; 1.00-16.74 wt. % Co; up to 1.7-6.8 wt. % Cu) and heazlewoodite (locally in intergrowth with hematite). The inferred front of crystallization moved in the western direction, causing the formation of Zone II from a more fractionated melt with a notably lower Mg# value. A sharp increase in oxygen fugacity locally caused the formation of anomalous parageneses of chromite and ilmenite, in which the observed Mg# values of ilmenite are considerably greater than those of the coexisting chromite.

The geochemical whole-rock characteristics based on major, minor, and trace elements (including LILE, REE, and HFSE), as well as the compositions and trends of chromian spinels, are similar to those in differentiated (zoned) sills of the Chapesvara complex, which are closely associated with the Pados-Tundra layered complex. The obtained data indicate comagmatic relationships among the Khanlauta massif, zoned sills of the Chapesvara complex, and the Pados-Tundra layered complex. All of them crystallized from a primitive highly magnesian Fe- and Cr-enriched komatiitic magma (Al-undepleted). Thus, they belong to a single subvolcano-plutonic association being part of the Serpentinite belt–Tulppio belt (SB–TB) megastructure of presumably Paleoproterozoic age.

Mount Khanlauta massif, Pados-Tundra layered massif, subvolcanoplutonic association, Al-undepleted komatiites, dunite-harzburgite-orthopyroxenite complexes, ultramafic rocks, highly magnesian associations, Serpentinite belt. Kola Peninsula, Fennoscandian Shield

ВВЕДЕНИЕ

Серпентинитовый пояс Кольского полуострова, объединяющий массивы и дезинтегрированные блоки дунит-гарцбургит-ортопироксенитового состава с ассоциирующими серпентинитами, впервые обозначен исследованиями А.М. Шукевича (1933) и Д.Ф. Мурашова [1958]. В качестве основного его представителя выступает крупный расслоенный массив Падос-Тундра (рис. 1), имеющий палеопротерозойский возраст: 2485 ± 77 млн лет по данным Sm-Nd метода [Серов и др., 2018]. Протяженность массива превышает 6 км; он подразделяется на дунитовую и ортопироксенитовую зоны и содержит значительное хромитовое орудение стратиформного и подиформного типов с проявлениями нетрадиционной Ru-Os-Ir минерализации [Мамонтов, Докучаева, 2005; Barkov et al., 2017a,b, 2021; Никифоров, 2018; Барков и др., 2021]. Минералы ЭПГ формируют включения в зернах хромшпинелидов в стратиформных зонах хромититов Дунитового блока. Они преимущественно (более 80 % зерен) представлены необычными срастаниями лаурита с микрокристаллами клинохлора. Присутствуют соединения сульфоселенидов и селенидов рутения серии Ru(S, Se)2—RuSe2, а также фрамбоидальные фазы самородного рутения, которые не известны в других платиноносных комплексах [Barkov et al., 2017b].

Даже в узкорегиональном масштабе протяженность Серпентинитового пояса превышает 30 км. Входящие в его состав ультрамафиты распространены в приграничной области Кольского полуострова и прослеживаются далее в западном направлении на территории Финляндии, где выделяется пояс Тулппио [Radiometric age..., 2001]. Степень серпентинизации ультрамафитов Серпентинитового пояса, отраженная в его названии, варьирует от незначительных автометасоматических изменений до всецело рассланцованных и измененных разновидностей, особо характерных району горы Карека-Тундра. Л.А. Виноградов [1971] распространял общую протяженность пояса до ~200 км, относя ультрабазитовые тела к формации альпинотипных гипербазитов и включая в него дунит-гарцбургит-ортопироксенитовый массив Ляварака (Хлебная Варака) [Докучаева, 1981; Barkov et al., 2020].

Результаты недавнего исследования [Barkov et al., 2019] показали, что крупный субвулканический комплекс Чапесвара, родственный и наиболее близко ассоциирующий с массивом Падос-Тундра, представлен дифференцированными силлами (Чапесвара-I и II) ультрамафитов субвулканического происхождения, образующими единый с массивом Падос-Тундра субвулканоплутонический комплекс. Силл Чапесвара-II, являющийся наиболее представительным и цельным, формировался *in situ* из высокомагнезиальной Al-недеплетированной коматиитовой магмы в процессе продвижения разнонаправленного (двойного) фронта кристаллизации от дунитового ядра к контактам [Barkov et al., 2019, 2020].

Целью настоящего исследования явилось геолого-петрографическое и минералого-геохимическое изучение массива ультрамафитов субвулканического происхождения, ранее неизученных и находящихся у подножия горы Ханлаута примерно в 2 км от юго-западной оконечности расслоенного массива

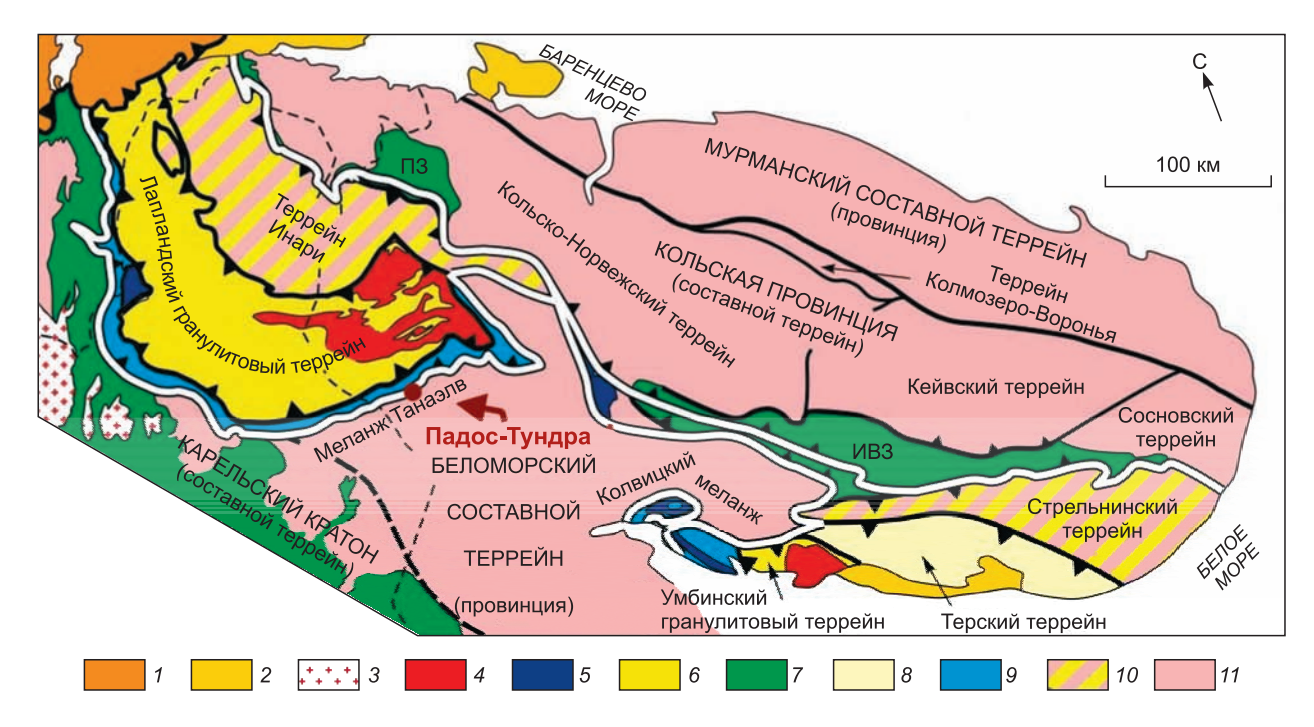


Рис. 1. Положение расслоенного массива Падос-Тундра на схеме тектонического строения северовосточной части Балтийского щита [Балаганский и др., 2016].

I — каледониды, 2 — рифей, 3 — гранитоиды, 4 — нориты, эндербиты, граниты (1.91—1.94 млрд лет), 5 — анортозиты (2.45 и 1.90 млрд лет), 6 — метаосадки (\sim 2 млрд лет), 7 — рифтогенные супракрустальные толщи (1.8—2.5 млрд лет), 8 — супракрустальные толщи и ТТГ гнейсы (1.9—2.0 млрд лет), 9 — коллизионный меланж, 10 — тектонические пакеты пород (\sim 2.7 и 1.9 млрд лет), 11 — ТТГ гнейсы и супракрустальные толщи (2.5—3.0 млрд лет).

ПЗ и ИВЗ — Печенгская и Имандра-Варзугская зоны палеопротерозойского рифта Полмак—Пасвик—Печенга, Имандра—Варзуга. Белые линии — главные сутуры (преимущественно взбросы и надвиги), ограничивающие ядро Лапландско-Кольского орогена.

Падос-Тундра (рис. 2, *a*). На основе сопоставления новых данных с предыдущими исследованиями дифференцированных силлов Чапесвара [Barkov et al., 2019, 2020] мы относим проявления коматиитового вулканизма массива горы Ханлаута к единой (с этими силлами и массивом Падос-Тундра) субвулканоплутонической ассоциации, входящей в мегаструктуру крупной изверженной провинции палеопротерозойского возраста «Серпентинитовый пояс—пояс Тулппио» (СП—ПТ).

УЛЬТРАМАФИТЫ МАССИВА ГОРЫ ХАНЛАУТА

Пробы и геолого-петрографические особенности

Исследованное тело ультрамафитов имеет в целом субширотное простирание при небольшой видимой мощности (до 0.1 км, см. рис. 2, δ). Наблюдаемое «блоковое» строение коренных выходов (рис. 3) обусловлено не только тектоническим воздействием, но, по всей вероятности, отражает магматическую отдельность и интенсивное растрескивание приповерхностных тел в ходе дегазации и резкого охлаждения первичных расплавов [Barkov et al., 2019]. Изученные пробы преимущественно отобраны в наиболее крупных «корневых» блоках (размерностью 3 м и более), находящихся на месте их первичного залегания. В соответствии со степенью обнаженности и геологическими особенностями района нами охарактеризовано 20 проб, представляющих зоны I и II по разрезам, в целом ориентированным вкрест простирания прослеженного геологического тела (см. рис. 2, δ). Зона I сложена отчетливо более высокомагнезиальными парагенезисами оливина и хромшпинелидов (см. рис. 2, ϵ , ϵ), отражая, таким образом, скрытую зональность тела. Нами обнаружен фрагмент столбчатой отдельности (см. рис. 3, δ), обычно характерной для центральных частей базальтовых потоков и редко наблюдаемой в телах коматиитов или других высокомагнезиальных вулканитов.

Ультрамафитовые породы массива горы Ханлаута представлены преимущественно гарцбургитами с единичными выходами оливиновых ортопироксенитов. Породы темноокрашенные до черных, микро- или тонкозернистые, сохранившие первичные структуры и минеральные ассоциации (рис. 4, 5). Породы весьма прочные и при отборе проб часто формируют режущие кромки и тонкие стекловатые

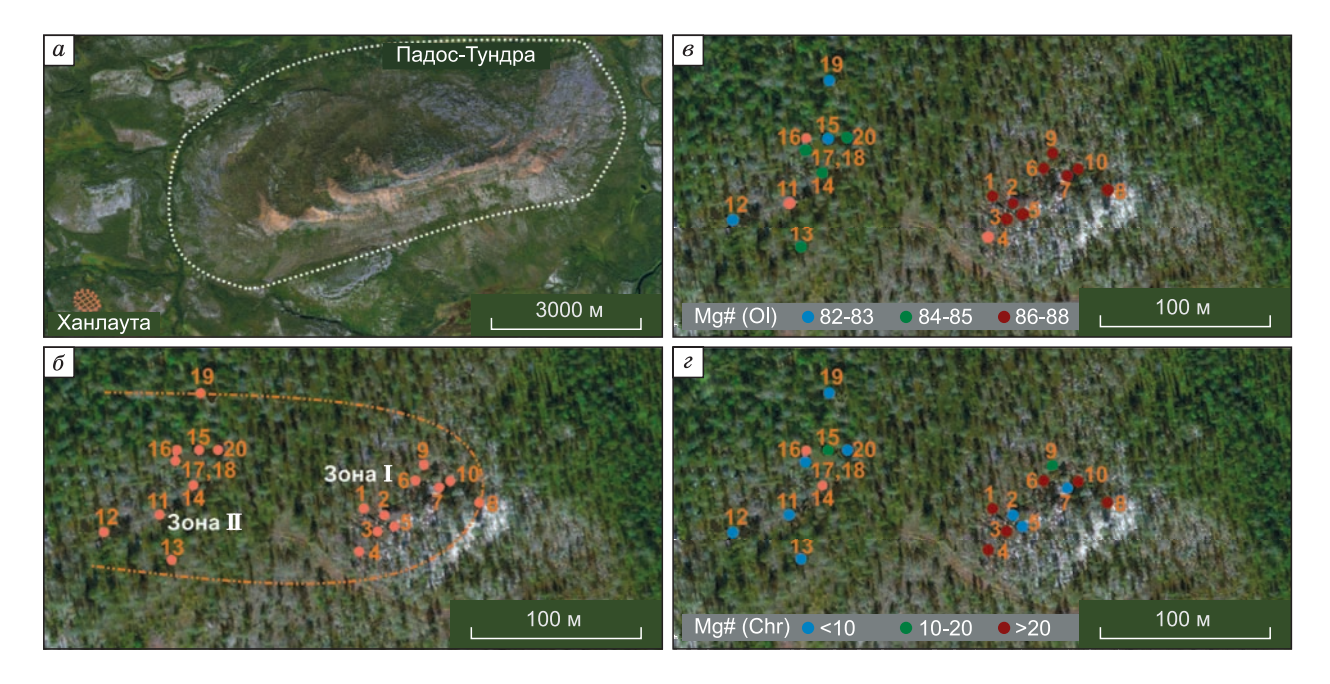


Рис. 2. *a*, *б*: местоположение района выполненного исследования у подножия горы Ханлаута, близлежащего по отношению к расслоенному массиву Падос-Тундра.

На рисунке 2, δ приведена нумерация и показана локализация точек отбора изученных проб ультрамафитов (от KHN-1 до KHN-20) массива горы Ханлаута на спутниковом изображении SAS.Planet. Зоны I и II выделяются на основе составов парагенезиса оливин—хромшпинелиды, которые заметно более магнезиальны в зоне I.

в, г: вариации (по латерали) значений индекса магнезиальности Mg# в составах зерен оливина (см. в) и хромшпинелидов (см. г), установленные в ультрамафитах в районе у подножия горы Ханлаута, показанные на спутниковом изображении SAS.Planet.

Символом коричневого цвета показаны значения Mg# 86—88 для оливина и Mg# более 20 для хромшпинелидов. Символом зеленого цвета показаны значения Mg# 84—85 для оливина и Mg# 10—20 для хромшпинелидов. Символом синего цвета показаны значения Mg# 82—83 для оливина и Mg# менее 10 для хромшпинелидов. Нумерация и локализация точек отбора проб ультрамафитов (от KHN-1 до KHN-20) те же, что на части δ .

сколы, на поверхности которых иногда заметны очертания крупных (до 2 см и более) пойкилокристаллов ортопироксена, всецело или частично замещенного ассоциацией кальциевого и железомагнезиального амфиболов, т. е. тремолита и антофиллита соответственно. Сходные структуры характерны для ультрамафитов массива Падос-Тундра (и Мончеплутону), в которых развиты крупные сфероидные ой-



Рис. 3. «Разблокированные» коренные выходы тела ультрамафитов массива горы Ханлаута (a), содержащие фрагмент столбчатой магматической отдельности гексагонального сечения (δ) .

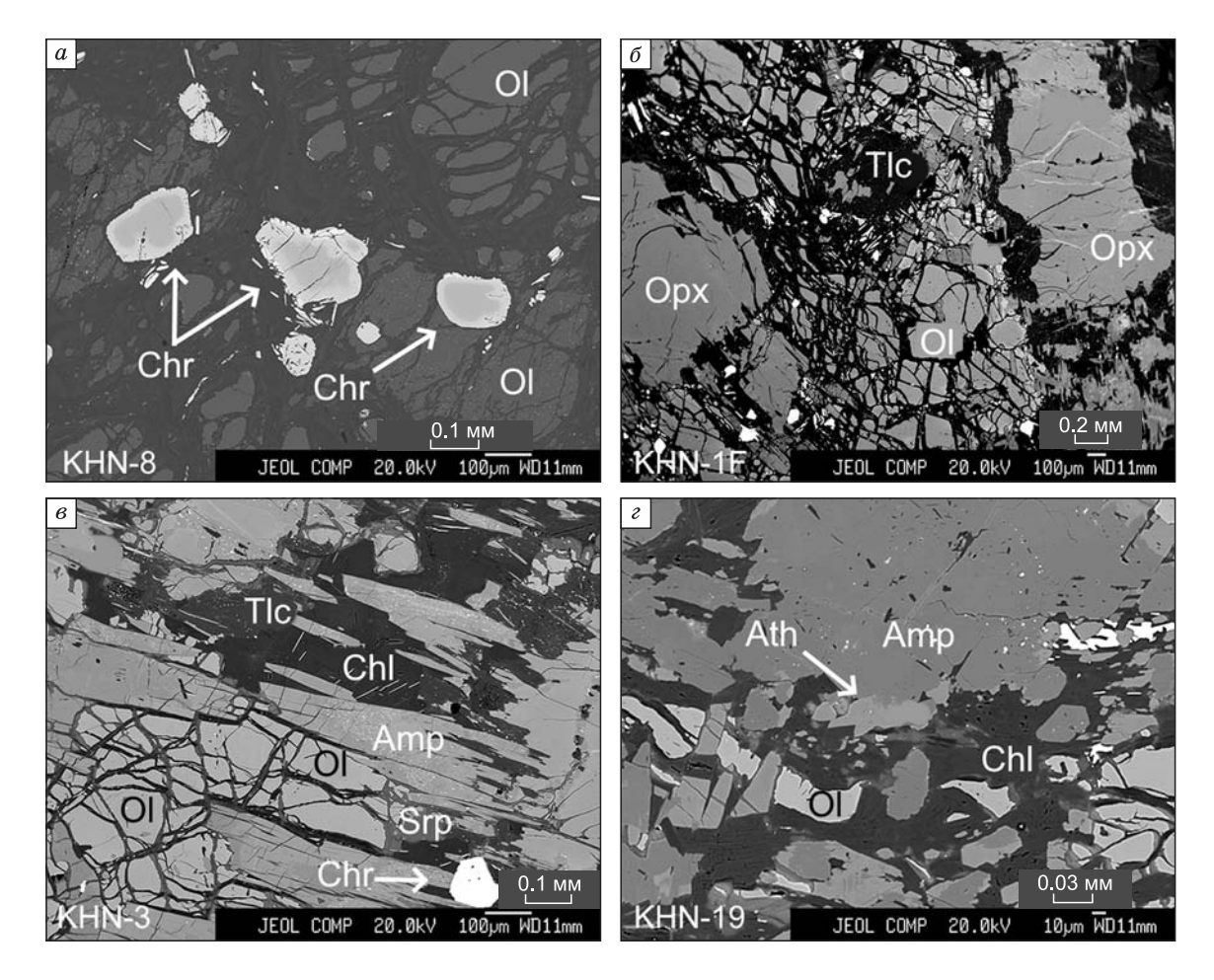


Рис. 4. Изображения микроструктур ультрамафитов (a—z) массива горы Ханлаута в обратнорассеянных электронах.

Зональные зерна хромшпинелидов с каймами (Chr) локализованы в межзерновом пространстве оливина (Ol) (см. a). Наблюдается ассоциация ромбического пироксена (Opx) и оливина (Ol) с его незначительной серпентинизацией (Srp) и развитием автометасоматической ассоциации амфиболов, Amp (тремолит и антофиллит), хлорита, Chl (клинохлор) и талька (Tlc). Присутствует зерно акцессорного хромшпинелида (Chr) (см. a). Выделения, напоминающие кристаллиты оливина (Ol), отмечаются среди минералов автометасоматического парагенезиса водосодержащих силикатов: кальциевого амфибола (Amp), антофиллита (Ath) и клинохлора (Chl), развившихся по всецело замещенному ими ортопироксену (см. a).

кокристаллы ортопироксена, всецело замещенного амфиболами автометасоматического происхождения, находящимися в матрице довольно свежего оливина [Barkov et al., 2015, 2016].

Методы исследований

Измерения содержаний основных петрогенных, малых и редких элементов выполнены методами рентгенофлуоресцентной спектроскопии (РФА) и масс-спектрометрии с индуктивно связанной плазмой (ИСП-МС) в Аналитическом центре многоэлементных и изотопных исследований (ИГМ СО РАН, г. Новосибирск). Измерения РФА проводились на рентгенофлуоресцентном спектрометре ARL-9900XP (Thermo Fisher Scientific Ltd). Результаты ИСП-МС получены на масс-спектрометре высокого разрешения ELEMENT (Finnigan MAT). Методологические основы и детали выполняемых процедур приведены в работах [Nikolaeva et al., 2008; Карманова, Карманов, 2011; Николаева и др., 2012].

Анализы химических составов минералов (оливина, хромшпинелидов, пироксена, амфиболов, сульфидов и др.) выполнены в том же центре в ИГМ СО РАН на электронно-зондовом микроанализаторе JEOL JXA-8100 с регистрацией излучения волновыми спектрометрами. Общая методология изложена в работах [Королюк и др., 2009; Лаврентьев и др., 2015]. Измерения проведены при ускоряющем напряжении 20 кВ, токе зонда 50—100 нА и диаметре зонда у поверхности образца \sim 1—2 мкм. Для всех элементов кроме Сг аналитическими являлись линии K_{α} . Для хрома выбрана менее интенсивная линия

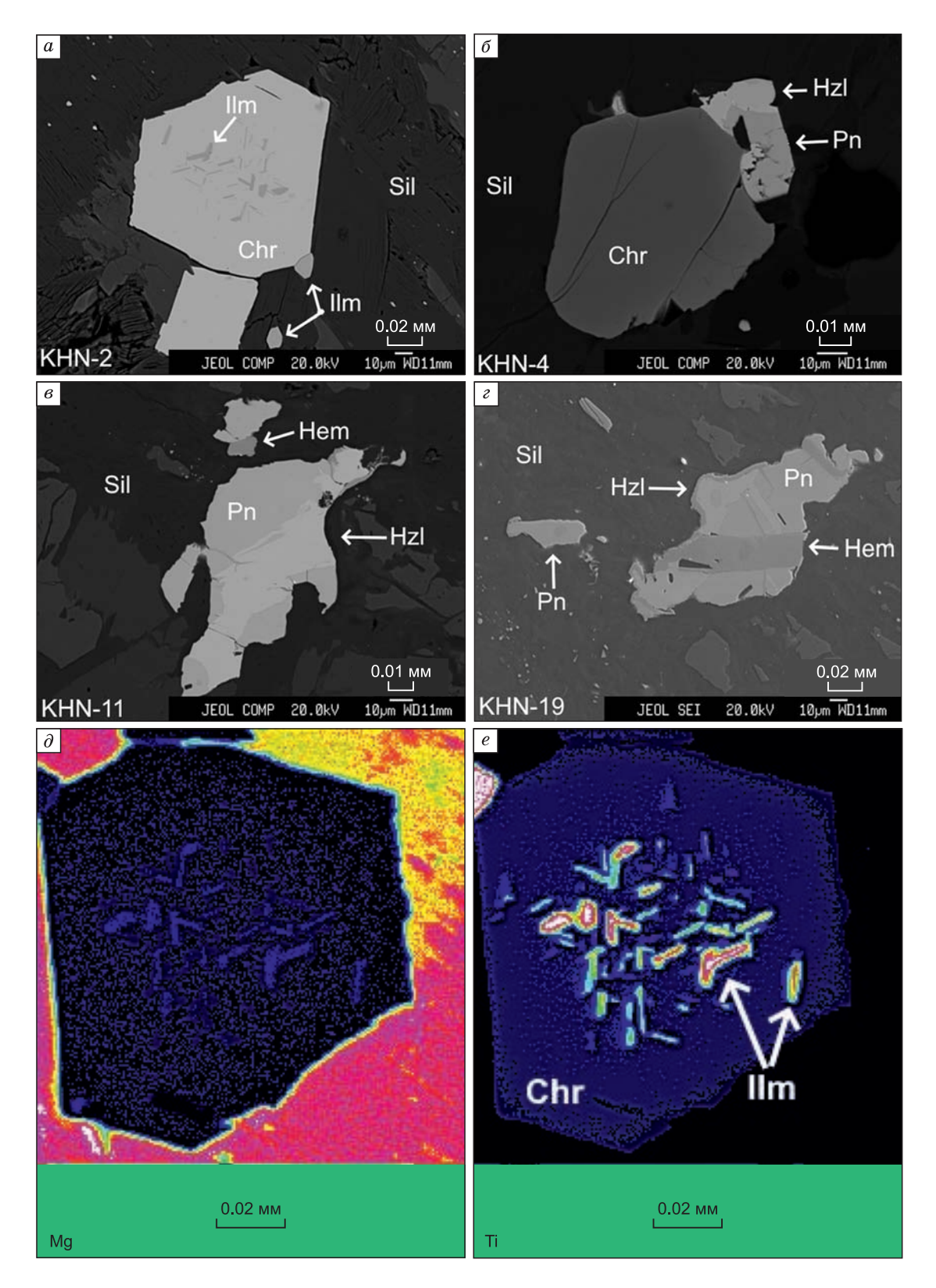


Рис. 5. *а—г*: изображения зерен хромшпинелидов (Chr) и сульфидных минералов: кобальтсодержащего пентландита (Pn) и хизлевудита (Hzl), ассоциирующие с ильменитом (Ilm) и гематитом (Hem) среди водосодержащих силикатов (Sil).

 ϕ , e: цветные картины сканирования в характеристическом рентгеновском излучении магния (ϕ) и титана (e), показывающие распределение и значительное обогащение магнием в кристаллографически ориентированных ламеллях ильменита (Π), развитых в субидиоморфном зерне хромита (Π).

 K_{β_1} , свободная от наложения мешающего излучения V. Для компенсации потери интенсивности регистрация проведена на светосильном спектрометре. Наложение линии TiK_{β_1} на VK_{α} корректировалось с помощью программного обеспечения OVERLAP CORRECTION. В анализах оливина использованы стандарты природных образцов оливина (Mg, Si, Fe, Ni), хром- и марганецсодержащих гранатов (Са, Сг, Mn). Образцы магнезиального хромита (Cr, Fe, Mg, Al), марганецсодержащего граната (Mn), ильменита, рутила (Ti) и синтетические оксиды NiFe₂O₄ (Ni), ZnFe₂O₄ (Zn) и V₂O₅ (V) использованы в качестве стандартов при анализе хромшпинелидов. Значения минимального предела обнаружения составили (критерий 1σ): ≤ 0.01 мас. % для Cr, < 0.01 мас. % для Mg, Ni, Ca, Al и Mn и ≤ 0.02 мас. % для Ti и V. Ортопироксен и амфиболы анализировались с применением тех же стандартов: диопсид (Ca, Mg, Fe), пироп (Mg, Fe, Si, Al), хромсодержащий гранат (Cr), марганецсодержащий гранат (Mn), титансодержащее диопсидовое стекло (Ті), альбит (Na), ортоклаз (К). Минимальные уровни обнаружения составили: <0.01 для Mg, Fe, Ca, K, Mn, Cr, Ti, <0.02 для Al, Na, <0.03 мас. % для Si. В ходе аналитических работ применялась программа коррекций ZAF. Точность и воспроизводимость аналитических процедур оценивалась специальными тестами [Королюк и др., 2009]. Анализ составов сульфидных минералов проведен при 20 кВ и силе тока зонда 50 нА. Диаметр зонда был минимальным (~1 мкм). Использовались аналитические линии FeK_{α} , CuK_{α} , SK_{α} (стандарт $CuFeS_2$), CoK_{α} , NiK_{α} (сплав FeCoNi), AsL_{α} (FeAsS), PbM_{α} (PbS) и учитывалось слабое наложение линий FeK_{β} на CoK_{α} и SK_{α} на PbM_{α} . Пересчет измеренных интенсивностей осуществлялся по стандартной процедуре Phi-Rho-Z.

Геохимические особенности ультрамафитов

Результаты геохимических исследований представлены в таблицах 1, 2 и на рисунках 6—8. Проанализированные пробы соответствуют гарцбургитам и в единичных случаях ортопироксениту (KHN-16). Этот образец выделяется из серии пониженным значением отношения MgO/SiO_2 (0.78), повышенным CaO (4.71 мас. %, см. табл. 1) и содержаниями примесей несовместимых высокозарядных литофильных (ВЛЭ) и редкоземельных элементов (РЗЭ), а также отсутствием отрицательной европиевой аномалии в спектре РЗЭ (см. рис. 8), нормированном по хондриту СІ [McDonough, Sun, 1995].

Среднее значение индекса магнезиальности пород, выраженного в значениях молекулярных отношений: $Mg\# = 100 MgO/(MgO + FeO_{oбщ.} + MnO)$, в ультрамафитах массива горы Ханлаута составляет 86.1 (n=10: см. табл. 1, где n является числом проанализированных проб или определений состава микрозондовым методом). Это значение весьма близко и лишь слегка понижено в сравнении со средним значением Mg# = 86.7 (n=13), опубликованным ранее для дифференцированного силла Чапесвара-II [Barkov et al., 2019]. Расслоенному массиву Падос-Тундра присуще сопоставимое среднее значение: Mg# = 87.6 [Barkov et al., 2021].

Для пород горы Ханлута (см. табл. 1) характерны заметно низкие значения СаО и глинозема (см. рис. 6, *a*, *в*), которые связаны обратной корреляционной зависимостью с содержанием MgO и ложатся на единые вариационные тренды с ультрамафитами силла Чапесвара-II [Barkov et al., 2019]. Положительная корреляция NiO—MgO (см. рис. 6, *б*) отражает модальные вариации оливина (~65—85 об. %) и составы оливина, как основного никельсодержащего породообразующего минерала ультрамафитов. В массивах Серпентинитового пояса магнезиальность оливина и примесь никеля в его составах коррелируют положительно [Barkov et al., 2019, 2021].

Комагматичная серия пород массива горы Ханлаута формирует довольно протяженную линию эволюционного тренда на диаграмме MgO— SiO_2 (см. рис. 6, ∂), где один из составов (KHN-16) ложится в поле коматиитов пояса Барбертон, Южная Африка, по [Grove, Parman, 2004]. Условная середина линии тренда отвечает гипотетическому продлению поля составов коматиитов района Мунро (Канада) в более высокомагнезиальную область. На диаграмме TiO_2 — Al_2O_3 (см. рис. 6, e) составы массива горы Ханлаута ложатся в поле низко-Al и низко-Ti составов, соответствующих Al-недеплетированным коматиитам Барбертонского пояса, по [Robin-Popieul et al., 2012].

Уровни и вариации ВЛЭ и РЗЭ, и значений индексов $(Gd/Yb)_N$ и Eu/Eu* (см. рис. 7, ε ; табл. 2) также близки значениям, характерным для силла Чапесвара-II [Barkov et al., 2019]. Эти элементы в своей совокупности и в рамках выборочных вариационных диаграмм (V—Y; Zr—Nb; Sm—Nd; Th—Hf) служат чувствительными показателями процесса кристаллизации исходной магмы, формируя однотипные с силлом Чапесвара-II корреляционные зависимости и эволюционные геохимические тренды (см. рис. 6, ε ; 7). Как отмечалось, спектры РЗЭ (см. рис. 8), нормированные по хондриту СI [McDonough, Sun, 1995], весьма близки спектрам ультрамафитов силлов Чапесвара [Barkov et al., 2019].

Минеральные ассоциации и вариации химических составов

Оливин и ортопироксен. Состав оливина отчетливо варьирует по латерали (см. рис. 2, θ , ε ; 9, a, θ ; табл. 3). В этой связи в пределах исследованного тела выделяются зона I, слагаемая более магнези-

Содержания (мас. %) основных петрогенных элементов в ультрамафитах массива горы Ханлаута

- 1		-			011	резуль	результатам рентгенофлуоресцентного анализа (РФА)	ентген	юфлуо	ресцент	гного а	нализа	(РФА)							
№ пробы SiO ₂		TiO2	Al ₂ O ₃	SiO_2 TiO ₂ Al ₂ O ₃ Fe ₂ O _{3o6m.} FeO _{o6m.}	FеО _{обш.}	MnO	MgO	CaO	Na ₂ O	K ₂ O	P_2O_5	ВаО	SO_3	V_2O_5	V_2O_5 Cr_2O_3	NiO	П.п.п.	П.п.п. Сумма	${ m MgO/SiO_2}$	Mg#
KHN-1F 44.06	9	0.09	2.11	69.63	8.67	0.15	35.58	1.36	0.23	80.0	0.02	0.01	<0.03	0.01	96.0	0.18	4.79	99.28	1.20	88.0
KHN-5 46.68	80	0.12	2.23	8.40	7.55	0.14	33.29	1.56	0.17	0.05	0.03	<0.01	<0.03	0.01	98.0	0.14	5.70	99.40	1.06	88.7
	57	0.09	1.96	9.31	8.38	0.15	34.94	1.39	0.14	0.03	0.02	0.01	<0.03	0.01	0.97	0.17	4.74	99.51	1.14	88.1
KHN-9 43.30	30	0.08	1.81	9.58	8.62	0.14	35.41	1.10	0.15	0.03	0.02	0.01	<0.03	0.01	1.00	0.19	6.52	99.38	1.22	88.0
	.64	0.14	2.84	9.92	8.93	0.13	34.08	2.14	0.05	0.01	0.04	<0.01	<0.03	0.01	0.77	0.20	7.73	99.75	1.22	87.2
	35.71	0.16	3.14	11.53	10.38	0.07	35.70	0.14	0.04	0.01	0.05	0.01	<0.03	0.01	0.88	0.25	11.76	99.51	1.49	86.0
KHN-15 36	36.98	0.17	2.89	16.75	15.07	0.16	30.42	1.19	0.08	0.01	0.02	0.01	<0.03	0.02	3.28	0.19	7.07	99.26	1.23	78.2
	49.92	0.18	4.29	9.21	8.29	0.20	26.14	4.71	0.21	0.02	0.02	<0.01	<0.03	0.01	0.58	0.08	3.97	99.56	0.78	84.9
	40.25	0.14	3.36	9.81	8.82	0.12	33.86	1.84	0.05	0.01	0.03	<0.01	<0.03	0.01	99.0	0.19	8.86	99.22	1.25	87.2
KHN-20 4	40.11	0.11	2.89	11.51	10.36	0.13	32.72	2.77	0.07	0.01	0.03	0.01	0.11	0.01	1.19	0.21	7.42	99.31	1.22	84.9

Примечание. Местоположение точек отбора проб указано на рис. 2, б. Величина индекса Mg# = 100 MgO/(MgO + FeO_{обш.}) является отношением молекулярных коли-

неств в расчете на суммарное содержание железа, выраженное в форме FeO.

альным (Mg# 86.0—87.9) и зона II с менее магнезиальным оливином (Mg# 81.8—84.1). Наличие указанных зон также заметно по значениям примеси марганца, содержание которого связано обратной корреляционной зависимостью с уровнем магнезиальности оливина. В пределах зоны I оливин содержит 0.15—0.21 мас. % MnO, тогда как в зоне II отмечается заметное и устойчивое повышение значений до 0.19—0.30 мас. % MnO (см. рис. 9, δ). Примесь никеля менее чувствительна в этом отношении и не обнаруживает столь отчетливых корреляций с магнезиальностью оливина (см. рис. 9, δ).

В дифференцированном силле Чапесвара-II (см. рис. 9, a, δ) состав оливина ($Fo_{84-89.5}$) закономерно возрастает от дунитового центра к контактам [Barkov et al., 2019], показывая, однако, максимум магнезиальности (Fo_{92}) в зоне «верхней контактной фации» (ВКФ). Таким образом, составы оливина зоны II массива горы Ханлаута заметно менее магнезиальны и отвечают несколько более фракционированному расплаву, чем тот, из которого формировались силлы субвулканического комплекса Чапесвара.

В ультрамафитах массива горы Ханлаута структуры спинифекс не наблюдались, как и в других представителях Серпентинитового пояса. Однако отмечается локальное развитие игольчатых индивидов размерностью ≤ 10 —30 мкм, которые, возможно, имеют сходную петрогенетическую природу с оливином типа спинифекс. Такие кристаллиты оливина (состава Fo_{83}) развиты в пр. КНN-19 (см. рис. 4, z; табл. 3), находящейся в непосредственной близости к предполагаемому контакту ультрамафитового тела (см. рис. 2, δ). Можно предполагать, что резкое падение температуры в приконтактной зоне сыграло особую роль в формировании вероятных кристаллитов.

Ортопироксен в свежем или реликтовом состоянии присутствует лишь в двух исследованных пробах (KHN-1F, KHN-4). Общей особенностью ультрасубвулканоплутонической мафитов ассоциации массива Падос-Тундра является значительная подверженность ортопироксена процессам автометасоматического изменения, что может связываться с накоплением воды и последующей локальной реакцией ортопироксена с водосодержащим флюидом. Составы ортопироксена (n = 8) варьируют незначительно: SiO₂ 56.87—57.09, TiO₂ 0.04—0.08, Al₂O₃ 1.28—1.40, Cr₂O₃ 0.61—0.74, FeO 7.11—7.49, MnO 0.15—0.18, MgO 31.97—32.29, CaO 1.32—1.44, NiO 0.08—0.10, Na₂O 0.03—0.08, K₂O <0.01, сумма 99.92—100.46 мас. %, соответствуя $Wo_{2.6-2.8}En_{85.9-86.5}Fs_{10.9-11.4}$ (Mg# 86.3—87.2). Ортопироксен комплекса Чапесвара несколько более магнезиален по своему максимальному значению в установленном ряду составов: Мд# 85.8—89.7. Наблюдаются две разновидности: первично-магматического и вторичного ортопироксена, который сформирован в процессе замещения первичного Орх и резко обеднен всеми примесями: Ca, Al и Cr [Barkov et al., 2019].

Таблица 1.

Таблица 2. Содержания (г/т) малых и редких элементов-примесей в ультрамафитах массива горы Ханлаута по результатам масс-спектрометрии с индуктивно связанной плазмой (ИСП-МС)

		110	pesy	JIDIAI	ам мас	e ciici	ripon	пстри	n c n		·Diio v	222311		110166	,,,,,,,,,,,,,,,,,,,,,,,,,,,,,,,,,,,,,,,		110)			
№ п/п	№ пробы	Sc		V	Cr	Со]	Ni	Cu	Zn	Rb	Sr	Y	Zr	Nb	Cs	Ba	La	Се	Pr
1	KHN-1F	11.9	6 43	3.88	6529.6	98.4	. 15	93.5	6.9	54.4	1.06	14.5	1.35	5.1	0.22	< 0.1	5.9	0.52	1.12	0.15
2	KHN-5	15.2	8 48	8.41	6125.3	84.4	. 14	36.9	8.5	73.7	0.89	11.0	1.54	6.1	0.21	< 0.1	< 3	0.58	1.35	0.17
3	KHN-7	13.9	2 48	3.51	6752.3	102.3	5 15	60.8	< 5	55.0	1.06	9.4	1.18	4.1	0.18	< 0.1	< 3	0.62	1.18	0.16
4	KHN-9	12.0	8 46	5.07	7307.8	106.	7 17	30.4	6.3	64.0	1.10	9.5	1.15	3.5	0.14	< 0.1	< 3	0.53	1.15	0.15
5	KHN-13	13.7	9 50	5.69	5405.4	125.4	4 17	86.8	< 5	43.6	0.89	11.4	3.5	21	0.79	< 0.1	< 3	1.63	3.6	0.47
6	KHN-14	14.2	9 54	1.57	5873.5	154.9	9 21	06.9	< 5	37.6	0.86	4.4	1.58	18.7	0.86	< 0.1	< 3	1.32	3.1	0.39
7	KHN-15	12.0	6 12	0.05	23078.0	126.0	6 16	23.0	6.2	164.2	2.9	6.0	1.45	9.9	0.25	< 0.1	5.4	0.55	1.76	0.16
8	KHN-16	27.4	6 83	3.21	3995.5	87.8	75	55.3	< 5	42.0	1.13	31	4.3	17.0	0.57	0.11	3.7	6.5	11.4	1.23
9	KHN-17	19.3	4 5	5.47	4554.6	123.2	2 17	59.8	< 5	49.0	1.00	7.5	2.5	16.5	0.75	< 0.1	< 3	0.88	2.2	0.31
10	KHN-20	12.6	3 62	2.11	7584.0	115.3	3 17	26.9	< 5	53.3	1.13	12.9	1.90	10.3	0.39	< 0.1	< 3	0.51	1.32	0.19
				r	1 1			1	_	1	_	_								
№ п/п	№ пробы	Nd	Sm	Eu	Gd	Tb	Dy	Но	Er	Tm	Yb	Lı	ı F	If	Та	Th	U	(Go	d/Yb) _N	Eu/ Eu*
			Sm 0.13					Но 0.044	-			Lu 3 0.02		_	Ta < 0.05	Th 0.12	U 0.03	+	d/Yb) _N	1
п/п	пробы			0.034	0.17		0.19		0.13	0.020	0.13		20 0.	.14				0		Eu*
π/π 1	пробы КНN-1F	0.61	0.13	0.034	0.17 0.19	0.029 0.035	0.19	0.044	0.13	0.020	0.13	3 0.02	20 0. 24 0.	.14	< 0.05	0.12	0.03	0 0	1.06	Eu*
1 2	пробы КНN-1F КНN-5	0.61 0.72	0.13 0.19	0.034 0.061 0.037	0.17 0.19 0.17	0.029 0.035	0.19 0.24 0.20	0.044	0.13 6 0.17 6 0.13	0.020	0 0.13	3 0.02 5 0.02 4 0.02	20 0. 24 0. 21 0.	.142013	< 0.05	0.12 0.12	0.03	0 0 0	1.06	0.70 0.97
п/п 1 2 3	пробы KHN-1F KHN-5 KHN-7	0.61 0.72 0.63	0.13 0.19 0.13	0.034 0.061 0.037	0.17 0.19 0.17 0.15	0.029 0.035 0.029 0.024	0.19 0.24 0.20	0.044 0.056 0.046 0.040	0.13 0.17 0.13 0.13	0.020 0.025 0.020 0.018	0 0.13 0 0.16 0 0.14 0 0.12	3 0.02 5 0.02 4 0.02	20 0. 24 0. 21 0. 17 0.0	.142013089	< 0.05 < 0.05 < 0.05	0.12 0.12 0.12	0.03 0.03 0.03	0 0 0 0 0 0 0 0 0 0 0 0 0 0 0 0 0 0 0 0	1.06 0.95 1.00	0.70 0.97 0.78
п/п 1 2 3 4	пробы KHN-1F KHN-5 KHN-7 KHN-9	0.61 0.72 0.63 0.54	0.13 0.19 0.13 0.12	0.034 0.061 0.037 0.025	0.17 0.19 0.17 0.15 0.52	0.029 0.035 0.029 0.024	0.19 0.24 0.20 0.16 0.56	0.044 0.056 0.046 0.040	0.13 5 0.17 5 0.13 0 0.12 0.39	0.020 0.025 0.020 0.018 0.063	0 0.13 0 0.16 0 0.14 3 0.12 3 0.39	3 0.02 5 0.02 4 0.02 2 0.03	20 0. 24 0. 21 0. 17 0.0 56 0.	114 · · · · · · · · · · · · · · · · · ·	<0.05 <0.05 <0.05 <0.05	0.12 0.12 0.12 0.090	0.03 0.03 0.03 0.03	0 0 0 0 0 0 0 0 0 0 0 0 0 0 0 0 0 0 0 0	1.06 0.95 1.00	0.70 0.97 0.78 0.58
1 2 3 4 5	пробы КНN-1F КНN-5 КНN-7 КНN-9 КНN-13	0.61 0.72 0.63 0.54 2.0	0.13 0.19 0.13 0.12 0.51	0.034 0.061 0.037 0.025 0.092 0.044	0.17 0.19 0.17 0.15 0.52 0.25	0.029 0.035 0.029 0.024 0.090 0.045	0.19 0.24 0.20 0.16 0.56 0.29	0.044 0.056 0.046 0.040 0.13	0.13 0.17 0.13 0.13 0.13 0.12 0.39 0.19	0.020 0.020 0.020 0.018 0.063 0.032	0 0.13 0 0.16 0 0.14 3 0.12 6 0.39 2 0.21	3 0.02 5 0.02 4 0.02 2 0.03 9 0.03	20 0. 224 0. 21 0. 117 0. 556 0.	14 - 20 - 13 - 13 - 14 - 15 - 15 - 15 - 15 - 15 - 15 - 15	<0.05 <0.05 <0.05 <0.05 <0.05	0.12 0.12 0.12 0.090 0.39	0.03 0.03 0.03 0.03 0.08	0 0 0 0 0 0 0 0 0 0 0 0 0 0 0 0 0 0 0 0	1.06 0.95 1.00 1.00	0.70 0.97 0.78 0.58 0.54
п/п 1 2 3 4 5 6	пробы КНN-1F КНN-5 КНN-7 КНN-9 КНN-13 КНN-14	0.61 0.72 0.63 0.54 2.0 1.70	0.13 0.19 0.13 0.12 0.51 0.31	0.034 0.061 0.037 0.025 0.092 0.044	0.17 0.19 0.17 0.15 0.52 0.25	0.029 0.035 0.029 0.024 0.090 0.045	0.19 0.24 0.20 0.16 0.56 0.29	0.044 0.056 0.046 0.040 0.13 0.063	0.13 0.17 0.13 0.12 0.39 0.19 0.17	0.020 0.020 0.020 0.018 0.063 0.032 0.032	0 0.13 0 0.16 0 0.14 3 0.12 3 0.39 2 0.21 8 0.18	3 0.02 5 0.02 4 0.02 2 0.03 9 0.03 1 0.03	20 0. 24 0. 21 0. 117 0. 556 0. 31 0. 227 0.	114 - 20 - 13 - 13 - 13 - 13 - 14 - 15 - 15 - 15 - 15 - 15 - 15 - 15	<0.05 <0.05 <0.05 <0.05 <0.05 <0.05	0.12 0.12 0.12 0.090 0.39 0.48	0.03 0.03 0.03 0.03 0.08 0.06	0 0 0 0 0 0 0 0 0 0 0 0 0 0 0 0 0 0 0 0	1.06 0.95 1.00 1.00 1.08 1.00	0.70 0.97 0.78 0.58 0.54 0.46
п/п 1 2 3 4 5 6 7	пробы КНN-1F КНN-5 КНN-7 КНN-9 КНN-13 КНN-14 КНN-15	0.61 0.72 0.63 0.54 2.0 1.70 0.65	0.13 0.19 0.13 0.12 0.51 0.31 0.18	0.034 0.061 0.037 0.025 0.092 0.044 0.044	0.17 0.19 0.17 0.15 0.52 0.25 0.18 0.74	0.029 0.035 0.029 0.024 0.090 0.045 0.034 0.12	0.19 0.24 0.20 0.16 0.56 0.29 0.26 0.80	0.044 0.056 0.046 0.040 0.13 0.063	0.13 0.13 0.13 0.12 0.39 0.19 0.46	0.020 0.022 0.022 0.018 0.063 0.032 0.032 0.073	0 0.13 5 0.16 0 0.14 3 0.12 6 0.39 2 0.21 8 0.47	3 0.02 5 0.02 1 0.02 2 0.03 0.03 1 0.03 7 0.06	20 0. 24 0. 21 0. 17 0. 556 0. 331 0. 227 0. 659 0.	114 - 20 - 13 - 13 - 13 - 14 - 15 - 15 - 15 - 15 - 15 - 15 - 15	<0.05 <0.05 <0.05 <0.05 <0.05 0.060 <0.05	0.12 0.12 0.12 0.090 0.39 0.48	0.03 0.03 0.03 0.03 0.08 0.06 0.09	0 0 0 0 0 0 0 0 0 0 0 0 0 0 0 0 0 0 0 0	1.06 0.95 1.00 1.00 1.08 1.00 0.79	0.70 0.97 0.78 0.58 0.54 0.46 0.76

Кальциевые и железомагнезиальные амфиболы и вторичная ассоциация

Амфиболы представлены двумя минеральными видами: кальциевым амфиболом серии тремолит—актинолит и тесно ассоциирующим с ним железомагнезиальным амфиболом, относящимся к антофиллиту (см. рис. 4, ϵ , ϵ). Оба амфибола в этом парагенезисе формируются на стадии автометасоматоза, отражая накопление воды, кальция и щелочей во флюидной фазе, что соответствует формированию ассоциаций этих типоморфных амфиболов в массивах Чапесвара и Падос-Тундра [Barkov et al., 2017а, 2019, 2021]. Составы изученных амфиболов закономерно отражают степень магнезиальности пород, и в массиве горы Ханлаута они несколько менее магнезиальны, чем в силлах Чапесвара. Последнее обстоятельство демонстрируется составами антофиллита (n=57) с пониженным содержанием MgO (и сравнительно повышенным MnO) в сопоставлении с составами из комплекса Чапесвара (см. рис. 9, ϵ).

Составы тремолита в массиве горы Ханлаута (n=61; см. рис. 9, e) и силлах Чапесвара обнаруживают единые тренды и однотипные изоморфные замещения, отвечающие за вхождение натрия в кристаллическую структуру. В общей совокупности составов, задействованных в приведенном сопоставлении (n=163; см. рис. 9, e), корреляция значений Na_2O — SiO_2 отрицательна с коэффициентом R=-0.75, тогда как корреляция Na_2O — Al_2O_3 положительна (R=0.79), что согласуется со следующей схемой парного изоморфизма: 2Na+2Al=2Ca+Si. Столь тесная аналогия в составах амфиболов вновь подчеркивает родственность массивов горы Ханлаута и силлов Чапесвара, свидетельствуя о весьма сходных автометасоматических процессах при их формировании.

Другие минералы вторичной ассоциации представлены проанализированными минералами группы серпентина, клинохлором, тальком и сравнительно малораспространенным карбонатом магния — магнезитом. Текстурные особенности и составы этой ассоциации вполне соответствуют вторичному парагенезису в силлах Чапесвара и массиве Падос-Тундра [Barkov et al., 2017a, 2019].

Хромшпинелиды

Акцессорным хромшпинелидам (размерность зерен до 0.3 мм; см. рис. 4, a; 5, a, δ) характерны довольно протяженные тренды и значительные ряды составов, выявленные в отношении как главных,

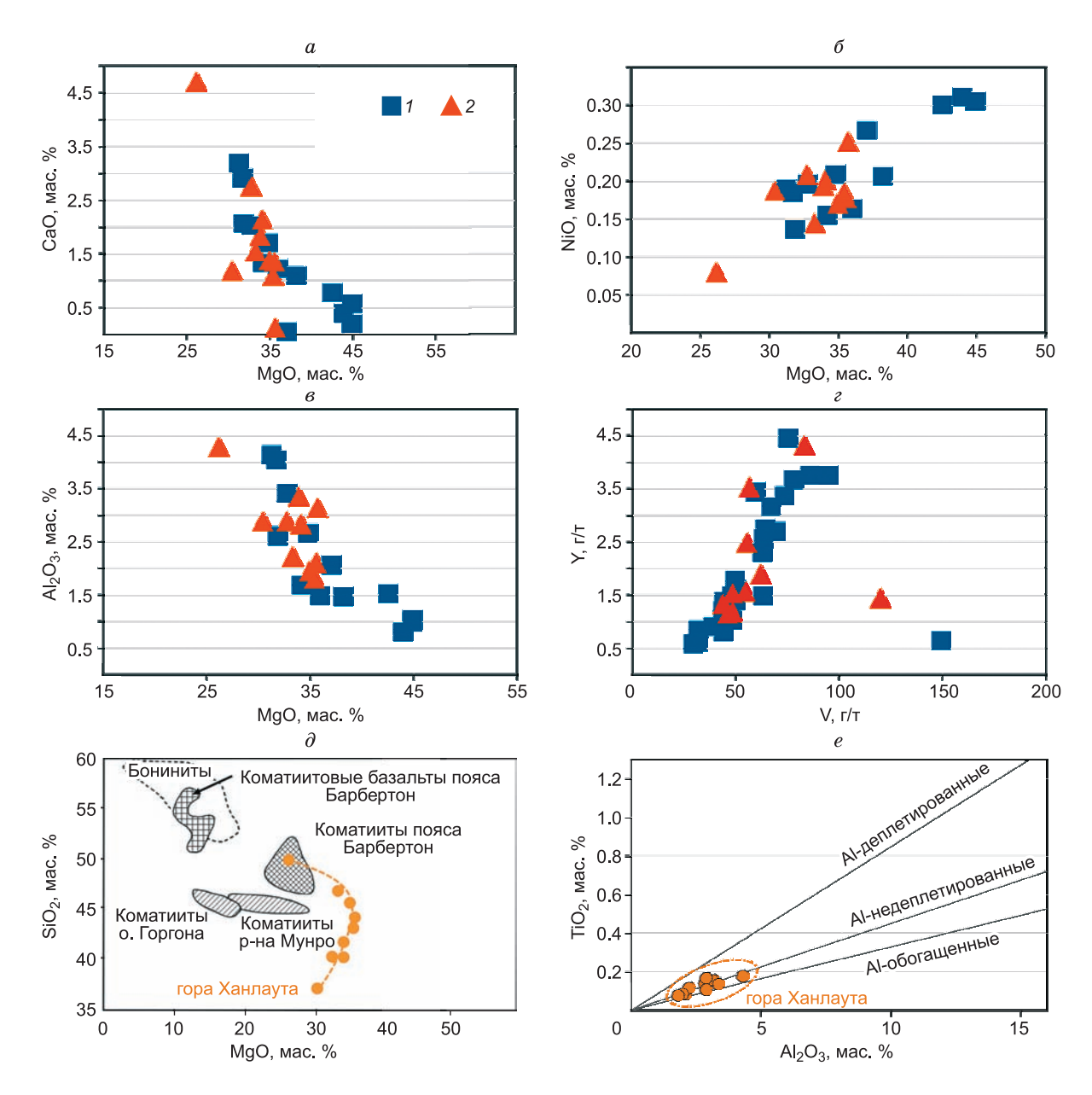


Рис. 6. a—z: сопоставление содержаний MgO с CaO, NiO и Al₂O₃ (a—e), а также V и Y (z) в ультра-мафитовых породах массива горы Ханлаута и силле Чапесвара-II, по [Barkov et al., 2019]. θ : диаграмма MgO—SiO₂,

показывающая составы и линию эволюционного тренда ультрамафитов массива горы Ханлаута в сравнении со схематично изображенными полями составов бонинитов, коматиитовых базальтов и коматиитов пояса Барбертон (Южная Африка), а также коматиитов о. Горгона (Колумбия) и р-на Мунро (Онтарио, Канада) с небольшими изменениями, по [Grove, Parman, 2004].

e: диаграмма TiO_2 — Al_2O_3 ,

показывающая составы ультрамафитов массива горы Ханлаута в сопоставлении с линиями трендов коматиитов разных типов (Аl-деплетированные, Al-недеплетированные и Al-обогащенные) пояса Барбертон (Южная Африка), по [Robin-Popieul et al., 2012]. *I* — Чапесвара, *2* — Ханлаута.

так и второстепенных и малых элементов (рис. 10, a—e; 11, a—e). Наблюдаемые вариации (n = 116) и эволюционные тренды подобны и хорошо согласуются с сопоставляемыми на графиках составами хромшпинелидов из силлов Чапесвара [Barkov et al., 2019]. Изученная видимая и скрытая зональность зерен хромшпинелидов (табл. 4) также однотипна и подобна образцам из родственных массивов [Barkov et al., 2019, 2020, 2021]. Характерно развитие диффузных краевых зон (см. рис. 4, a; табл. 4), в составе которых значительно возрастают расчетные значения окисного железа и растет величина индекса Fe^{3+} #=

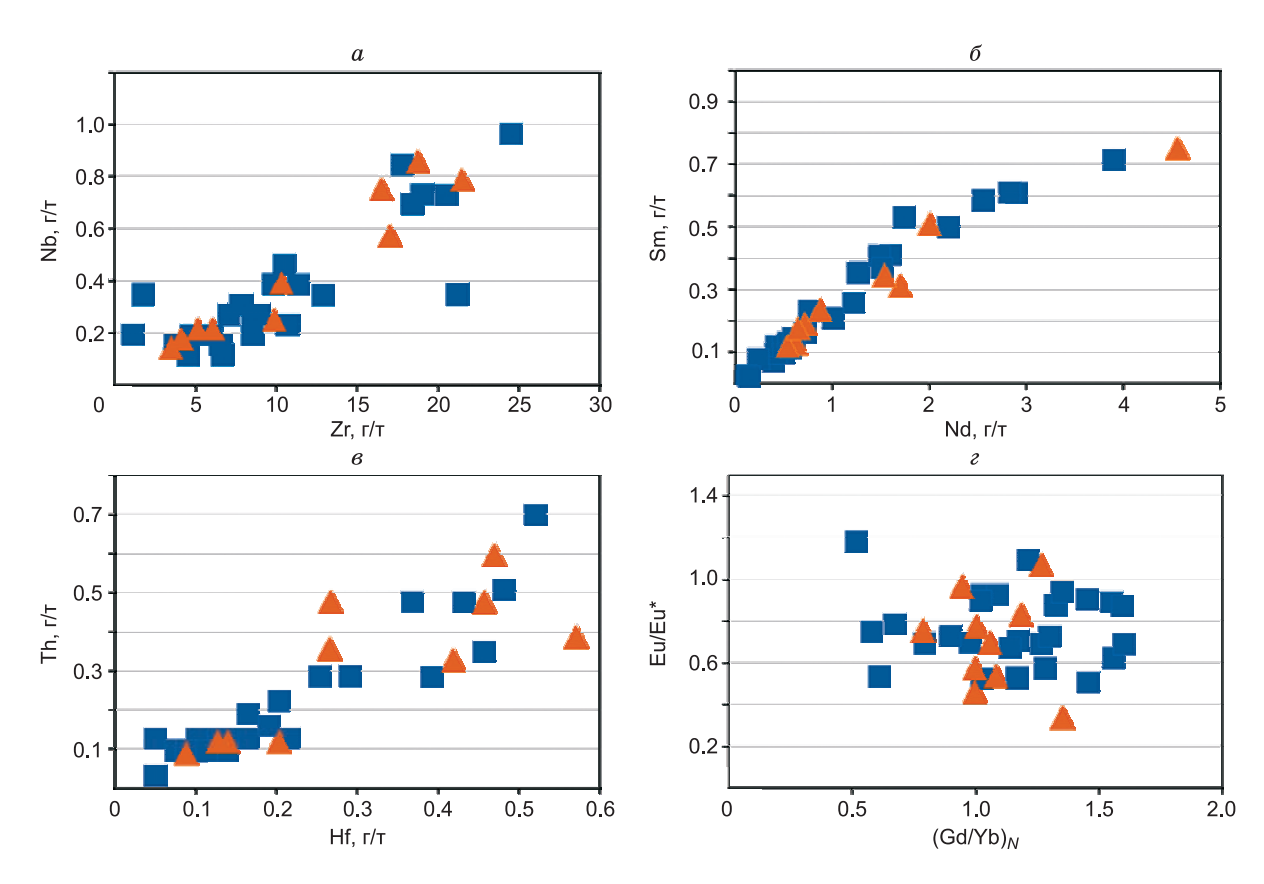


Рис. 7. Сопоставление содержаний Zr—Nb, Nd—Sm, Hf—Th (a— ϵ) и значений индексов (Gd/Yb) $_N$ — Eu/Eu* (ϵ) в ультрамафитовых породах массива горы Ханлаута и силле Чапесвара-II, по [Barkov et al., 2019].

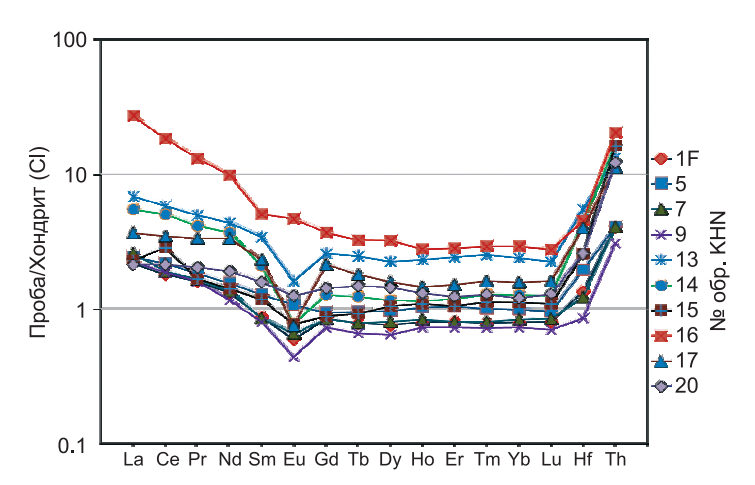
Усл. обозн. см. на рис. 6.

 $=(100{
m Fe^{3+}}/({
m Fe^{3+}}+{
m Fe^{2+}})),$ указывая на более высокую фугитивность кислорода $(f_{
m O_2})$ в системе. В процессе кристаллизации зональных кристаллов и в целом в ходе формирования хромитовых минеральных ассоциаций происходит закономерное снижение значений индекса Mg# = $(100{
m Mg/(Mg+Fe^{2+}+Mn)})$ и взаимосвязанных друг с другом содержаний магния и алюминия, коррелирующих прямо пропорционально (см. рис. 11,a) и совместно входящих в единый шпинелевый компонент (MgAl₂O₄). Экспериментальные данные [Jamieson, Roeder, 1984] согласуются с этой закономерностью, подтверждая, что магний преимущественно входит в оливин и сосуществующую с ним шпинелевую фазу.

С падением температуры, обусловливающим снижение величин Mg и Al в форме шпинелевого компонента (см. рис. 11, a), в кристаллизующихся зонах и зернах хромшпинелидов растут содержания

 $Fe_{oбщ.}$, Fe^{3+} ($Fe_2O_{3выч.}$), примесей Ni, V, Ti (в форме ульвошпинели), а также возрастают значения индексов $Fe^{3+}\#$ и Cr#=(100Cr/(Cr+Al)) (см. табл. 4; рис. 10, 6; 11, a, e, e). Интересная отличительная особенность изученных зональных структур в зернах хромшпинелидов горы Ханлаута заключена в обогащении их центральных

Рис. 8. Спектры редкоземельных элементов (Hf и Th), нормализованные по значениям в хондрите СІ [McDonough, Sun, 1995], в составах (ИСП-МС) ультрамафитов массива горы Ханлаута.



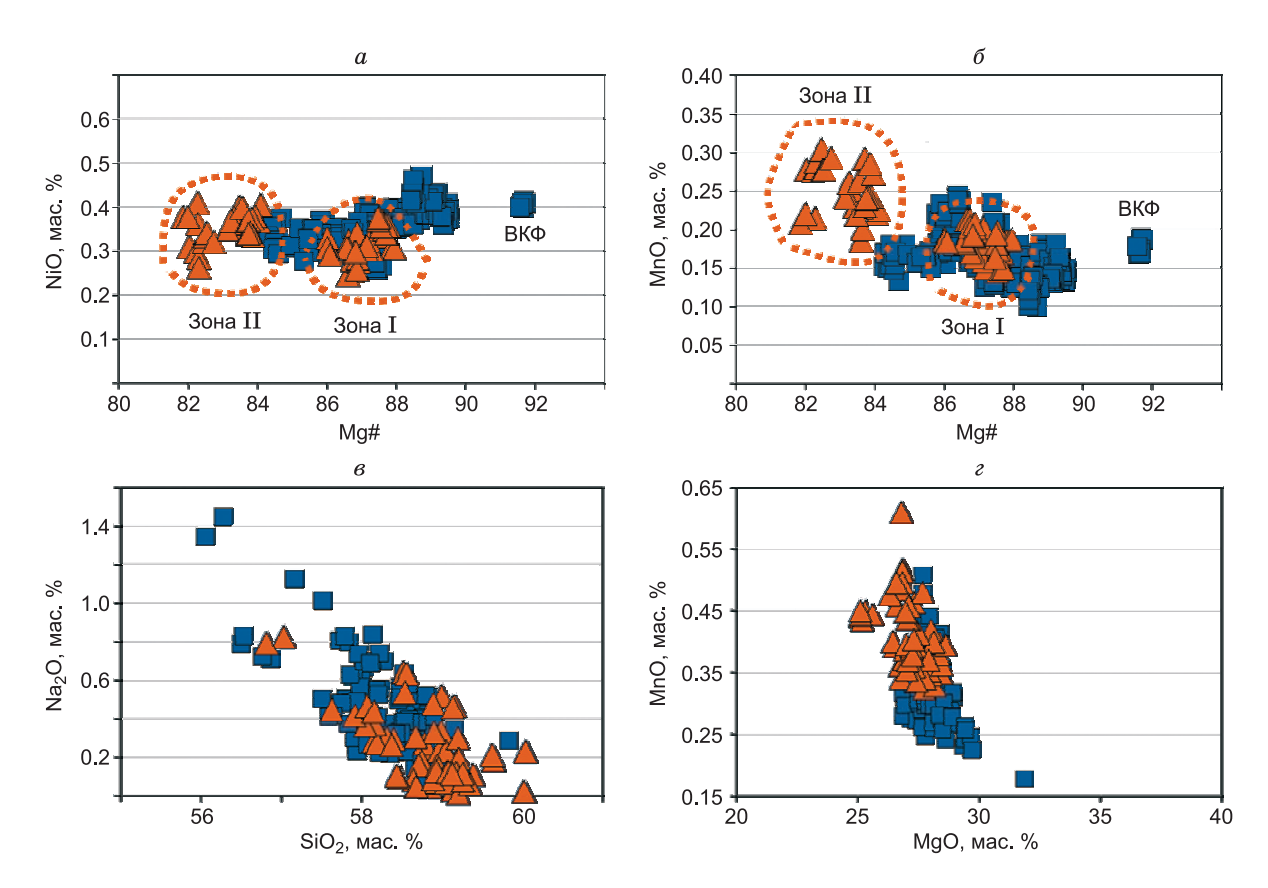


Рис. 9. Сопоставление значений индекса магнезиальности (Mg#) и содержаний примеси NiO (a) и MnO (δ) в ультрамафитовых породах массивов горы Ханлаута и Чапесвара; диаграммы SiO₂—Na₂O (ϵ) и MgO—MnO (ϵ), показывающие вариации составов тремолита и антофиллита соответственно из ультрамафитов массива горы Ханлаута и силла Чапесвара [Barkov et al., 2019].

ВКФ — «верхняя контактная фация» силла Чапесвара-II [Barkov et al., 2019].

(ядерных) зон цинком, содержания которого неизменно понижаются к кайме (см. табл. 4). Такие же скрытые вариации с преимущественным вхождением цинка в ядерные зоны документированы в хромшпинелидах массивов Падос-Тундра, Чапесвара и Ляварака [Barkov et al., 2017a,b, 2019, 2020, 2021]. В массивах комплекса Чапесвара выявлено контрастное распределение Zn и Mn (ранее неизвестное в хромшпинелидах) с противоположными по характеру трендами: Zn последовательно понижается, а Mn растет в направлении к краю зональных кристаллов [Barkov et al., 2020].

Как можно видеть (см. рис. 10, в) распределение цинка в хромшпинелидах из силлов Чапесвара имеет признаки бимодальности с образованием двух относительных максимумов. Хромшпинелиды из массива горы Ханлаута обогащены цинком более значительно (до 1 мас. % ZnO), чем из массивов Чапесвара (см. рис. 10, в), и обнаруживают наблюдаемую в составах положительную корреляцию цинка с магнием, поскольку цинк преимущественно входит в ранние, ядерные зоны кристаллов (см. табл. 4). Аналогичные уровни (∼1 мас. % ZnO) установлены в ядрах зональных кристаллов магнезиохромита из расслоенного массива Падос-Тундра [Вarkov et al., 2017b, 2021].

В целом марганец распределен довольно специфическим образом во всех ассоциациях хромшпинелидов в массивах горы Ханлаута и Чапесвара. Максимальные уровни марганца связаны со сравнительно низкомагнезиальными фазами, содержащими чуть более 2 мас. % MgO (см. рис. 10, а). В составах с меньшим содержанием MgO примесь марганца резко понижается, тогда как в более магнезиальных фазах отмечается тренд пологого возрастания содержаний MnO с понижением уровня магнезиальности (от 8 мас. % MgO; см. рис. 10, а). Сложный характер взаимосвязей и ковариаций в содержаниях примесей цинка и марганца в хромшпинелидах показан на рис. 10, г. Формы прослеживаемых там полей составов несколько напоминают искаженный треугольник. Резкий и максимальный рост содержаний цинка, установленный в ядерных зонах зональных кристаллов, сопровождается контрастным поведением элементов в паре Zn—Mn с относительным падением содержаний примеси марганца в центральных зонах (см. рис. 10, г). Отметим, что никель (см. рис. 10, б) и в менее отчетливой форме ванадий (см.

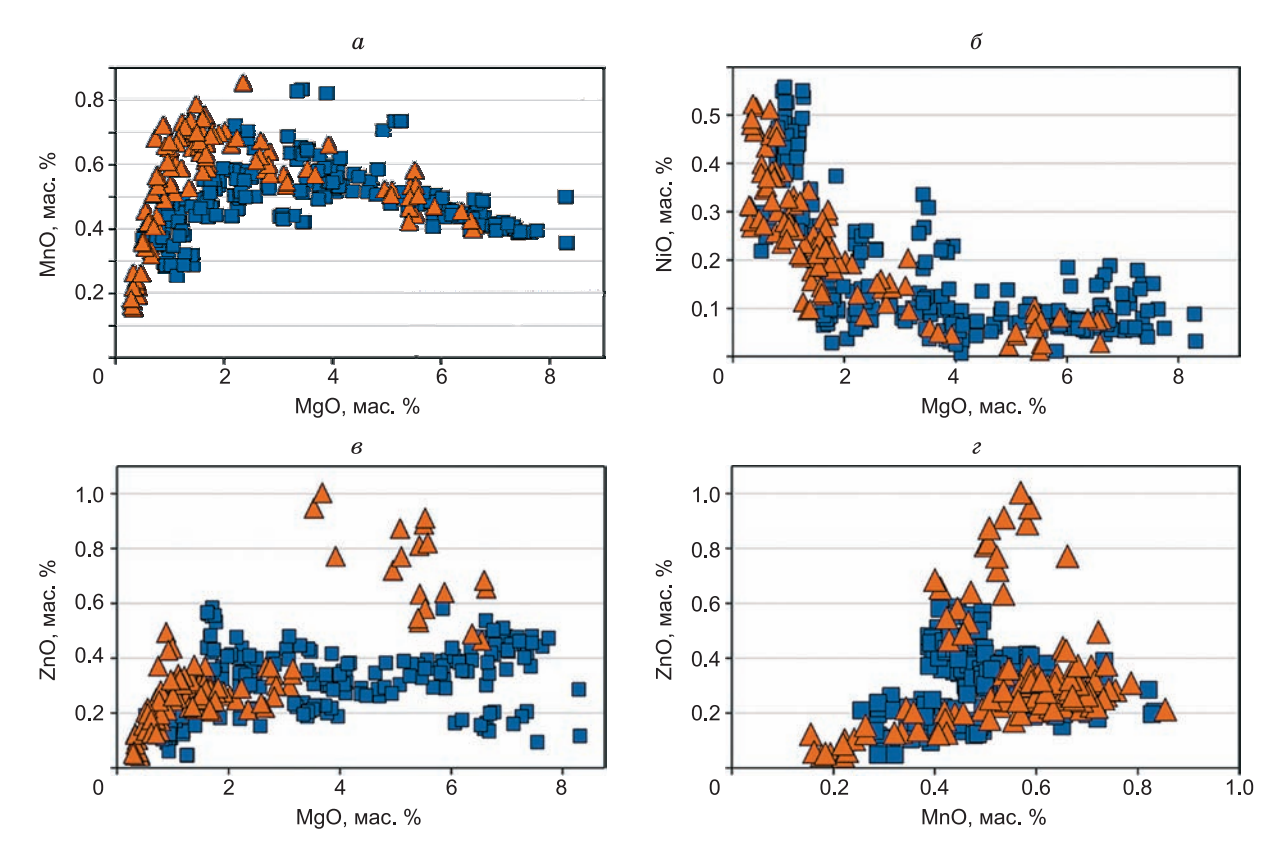


Рис. 10. *а—г*: диаграммы MgO—MnO, MgO—NiO, MgO—ZnO и MnO—ZnO,

показывающие вариации составов хромшпинелидов в ультрамафитовых породах массивов горы Ханлаута и Чапесвара-I-II, по [Barkov et al., 2019]. Усл. обозн. см. на рис. 6.

Таблица 3. Результаты электронно-микрозондовых анализов оливина из ультрамафитов массива горы Ханлаута (мас. %)

№ п/п	№ пробы	SiO ₂	Cr ₂ O ₃	FeO	MnO	MgO	CaO	NiO	Сумма	Mg#
1	KHN-1	40.68	0.08	11.76	0.20	47.08	0.03	0.34	100.15	87.5
2	KHN-1F	40.48	0.01	11.80	0.16	47.51	0.01	0.37	100.33	87.6
3	KHN-2	40.62	0.02	12.10	0.16	47.25	0.09	0.30	100.53	87.3
4	KHN-3	40.71	Н.п.о.	11.73	0.15	47.24	0.01	0.35	100.19	87.6
5	KHN-5	40.12	0.01	12.66	0.21	47.14	Н.п.о.	0.31	100.46	86.7
6	KHN-6	40.63	Н.п.о.	12.08	0.20	46.63	0.02	0.31	99.87	87.1
7	KHN-7	40.57	0.02	12.54	0.17	46.80	Н.п.о.	0.30	100.40	86.8
8	KHN-8	40.42	0.01	11.87	0.16	47.12	0.02	0.37	99.98	87.5
9	KHN-9	39.62	0.01	12.51	0.20	47.20	Н.п.о.	0.28	99.82	86.9
10	KHN-10	40.20	0.04	13.00	0.18	45.76	0.01	0.29	99.48	86.1
11	KHN-12	39.75	0.01	16.28	0.21	42.92	Н.п.о.	0.36	99.53	82.3
12	KHN-13	40.07	0.02	14.85	0.23	44.69	»	0.41	100.25	84.1
13	KHN-13	39.79	0.02	15.29	0.24	44.00	0.01	0.40	99.75	83.5
14	KHN-14	40.37	0.01	15.20	0.20	44.18	0.01	0.39	100.35	83.6
15	KHN-15	39.75	0.02	15.43	0.25	43.93	Н.п.о.	0.38	99.76	83.3
16	KHN-17	39.63	Н.п.о.	14.87	0.27	44.39	0.01	0.38	99.54	83.9
17	KHN-18	39.65	»	16.48	0.28	43.75	Н.п.о.	0.29	100.45	82.3
18	KHN-19	39.37	»	16.27	0.30	43.70	0.01	0.32	99.96	82.5
19	KHN-19	39.70	0.03	16.00	0.29	43.79	Н.п.о.	0.32	100.13	82.7
20	KHN-20	39.71	Н.п.о.	15.07	0.24	44.72	»	0.34	100.08	83.9

 Π р и м е ч а н и е . Н.п.о. — ниже предела обнаружения. Величина $Mg\#=100~Mg/(Mg+Fe^{2+}+Mn)$.

Таблица 4. Результаты электронно-микрозондовых анализов хромшпинелидов из ультрамафитов массива горы Ханлаута (мас. %)

№ п/п	№ пробы	TiO ₂	Al ₂ O ₃	Cr ₂ O ₃	V ₂ O ₃	Fe ₂ O _{3выч.}	FeO _{выч.}	FeO _{общ.}	MnO	MgO	NiO	ZnO	Сумма	Mg#	Cr#	Fe ³⁺ #
1	KHN-1	1.18	0.57	35.01	0.13	31.72	29.26	57.80	0.59	1.71	0.30	0.24	100.71	9.3	97.6	49.4
2	KHN-2	1.71	0.86	38.83	0.28	26.77	30.65	54.74	0.65	1.41	0.18	0.25	101.59	7.4	96.8	44.0
3	KHN-3	1.36	8.02	40.86	0.30	17.30	28.82	44.39	0.57	3.10	0.15	0.30	100.76	15.8	77.4	35.1
4	KHN-3(c)	0.43	22.00	40.12	0.13	5.33	24.80	29.60	0.41	6.63	0.08	0.66	100.57	31.9	55.0	16.2
5	KHN-3(r)	1.46	7.21	41.87	0.31	17.25	29.34	44.86	0.57	2.85	0.14	0.30	101.30	14.5	79.6	34.6
6	KHN-4(c)	1.21	17.68	41.57	0.16	7.19	26.75	33.21	0.45	5.53	0.03	0.58	101.13	26.6	61.2	19.5
7	KHN-4(r)	0.95	6.43	50.66	0.34	10.14	28.31	37.44	0.55	3.16	0.10	0.36	100.99	16.3	84.1	24.4
8	KHN-5	1.36	0.65	39.33	0.31	26.91	30.44	54.65	0.70	1.26	0.11	0.29	101.36	6.7	97.6	44.3
9	KHN-6(c)	0.45	17.16	45.38	0.14	5.35	25.55	30.36	0.54	5.53	0.08	0.91	101.07	27.4	64.0	15.9
10	KHN-6(r)	1.25	1.24	40.71	0.17	25.41	29.84	52.70	0.76	1.63	0.13	0.28	101.40	8.7	95.7	43.4
11	KHN-7	1.15	1.21	46.55	0.29	18.90	30.09	47.10	0.72	1.34	0.10	0.32	100.66	7.2	96.3	36.1
12	KHN-8(c)	0.50	20.10	41.79	0.19	5.88	24.96	30.25	0.43	6.55	0.08	0.47	100.93	31.5	58.2	17.5
13	KHN-8(r)	1.49	3.48	47.20	0.23	14.62	28.80	41.96	0.85	2.35	0.08	0.21	99.32	12.4	90.1	31.3
14	KHN-9	1.36	0.60	39.64	0.26	26.67	30.38	54.38	0.73	1.23	0.21	0.25	101.33	6.6	97.8	44.1
15	KHN-10(c)	0.34	18.89	42.61	0.11	6.02	26.43	31.85	0.51	5.08	0.05	0.87	100.90	25.1	60.2	17.0
16	KHN-10(r)	1.76	2.70	39.02	0.31	24.41	30.40	52.37	0.69	1.76	0.19	0.25	101.49	9.1	90.7	41.9
17	KHN-11	1.49	0.05	11.92	0.13	54.88	31.64	81.02	0.22	0.36	0.52	0.10	101.31	2.0	99.4	60.9
18	KHN-12	2.38	0.46	32.20	0.23	32.24	30.97	59.98	0.53	1.36	0.34	0.23	100.93	7.1	97.9	48.4
19	KHN-13	1.86	0.14	17.52	0.31	48.22	31.48	74.87	0.33	0.67	0.46	0.13	101.11	3.6	98.8	58.0
20	KHN-15(c)	0.41	13.79	47.20	0.15	6.38	27.62	33.36	0.57	3.69	0.05	1.00	100.86	18.9	69.7	17.2
21	KHN-15(r)	1.31	0.40	32.42	0.09	34.06	30.38	61.03	0.59	1.01	0.28	0.32	100.87	5.5	98.2	50.2
22	KHN-17	1.07	0.06	10.65	0.18	56.58	31.09	82.01	0.24	0.38	0.47	0.11	100.82	2.1	99.2	62.1
23	KHN-18	0.85	0.04	7.97	0.12	59.86	31.29	85.16	0.16	0.30	0.28	0.06	100.93	1.7	99.3	63.3
24	KHN-19	2.08	0.16	19.28	0.25	46.30	31.98	73.64	0.46	0.55	0.35	0.20	101.60	2.9	98.8	56.6
25	KHN-20	2.14	0.35	32.13	0.21	33.04	31.39	61.12	0.61	0.96	0.24	0.32	101.39	5.1	98.4	48.6

 Π римечание. Составы ядра (c) и каймы (r) в зональных зернах показаны латинскими литерами в скобках. $Mg# = (100Mg/(Mg + Fe^{2+} + Mn)); Cr# = (100Cr/(Cr + Al)); Fe^{3+}# = (100Fe^{3+}/(Fe^{3+} + Fe^{2+})).$

рис. 11, δ) вполне определенно демонстрируют «несовместимый» характер поведения с возрастанием их относительных содержаний при кристаллизации маломагнезиальных фаз хромшпинелидов в условиях понижающейся температуры.

Исходно высокие значения и возрастание уровней $f_{\rm O_2}$ в ходе кристаллизации хромшпинелидовых ассоциаций в массивах Серпентинитового пояса (Чапесвара, Падос-Тундра и Ляварака), несомненно, имеют первично-магматогенный, эволюционный характер. В качестве подтверждающих аргументов можно привести нижеследующие: 1) зональные зерна хромшпинелидов нередко образуют включения в первично-магматических силикатах (оливин, ортопироксен), присутствуя в породах, не затронутых деформациями либо вторичными изменениями; 2) эволюционные тренды составов хромшпинелидов таких ассоциаций указывают на исходно повышенные уровни $f_{\rm O_2}$ и их дальнейший рост в ходе продолжающейся кристаллизации; 3) документировано развитие экссолюционных ламеллей хромистого магнетита, ориентированных кристаллографически в матрице зерна хромшпинелида. Эти и другие доводы и наблюдения приводятся в отдельных публикациях [Вагкоv et al., 2020, 2021]. Следует добавить, что диффузные каймы хромшпинелидов, имеющие обогащенные Fe^{3+} составы, не могут увязываться с процессом частичной серпентинизации оливина (см. рис. 4, a), поскольку серпентинизация сопровождается восстановительными, а не окислительными условиями.

Ильменит и аномальные хромит-ильменитовые парагенезисы

Ильменит является ассоциирующим акцессорием, присутствуя в качестве небольших самостоятельных зерен размером до \sim 50 мкм, срастаний или выделений экссолюционного генезиса (кристаллографически ориентированных ламеллей, см. рис. 5, a), локализованных в зернах хромита. Состав его

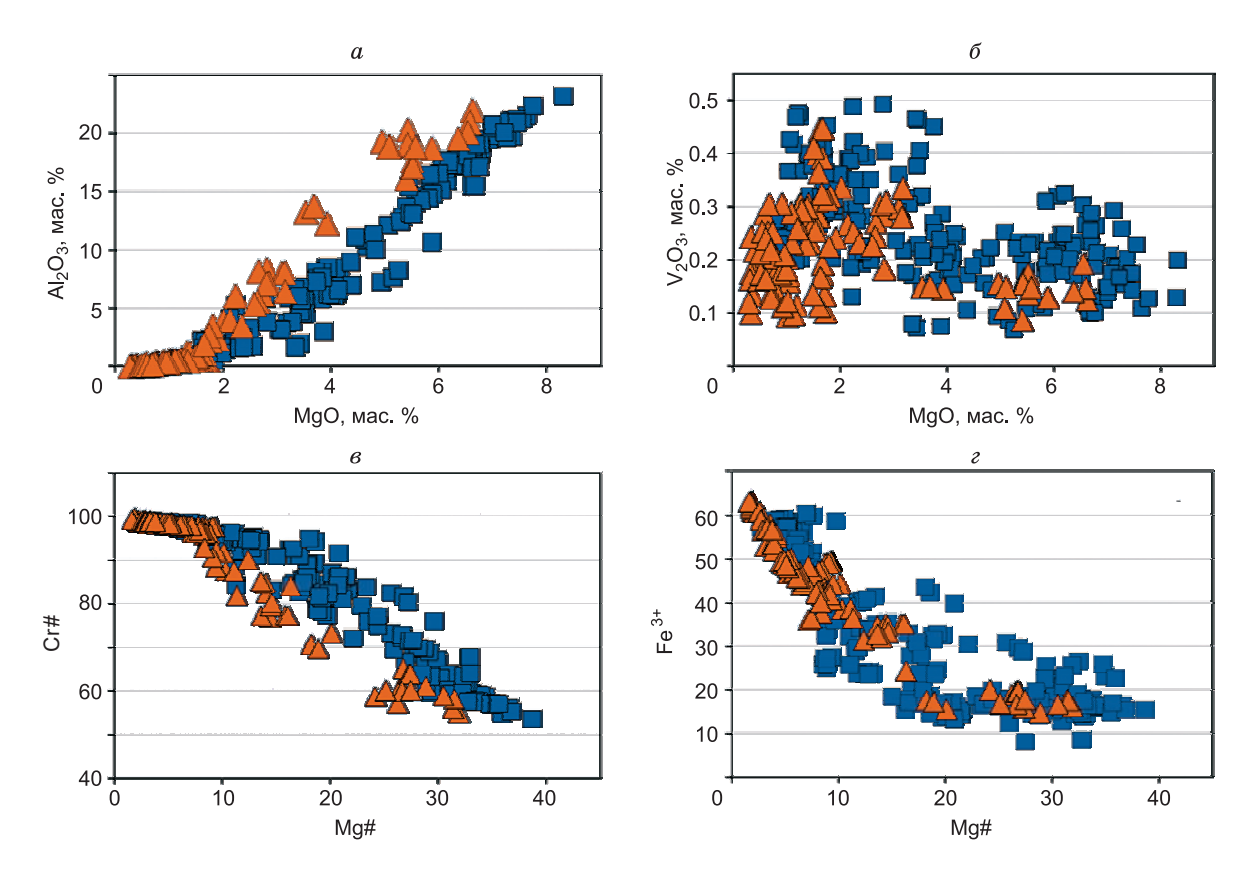


Рис. 11. *a*—г: диаграммы MgO—Al₂O₃, MgO—V₂O₃, Mg#—Cr# и Mg#—Fe³⁺#,

показывающие вариации составов хромшпинелидов в ультрамафитовых породах массивов горы Ханлаута и Чапесвара-I-II [Bar-kov et al., 2019]. Усл. обозн. см. на рис. 6.

заметно варьирует (табл. 5) в отношении примесей магния, входящего в качестве гейкилитового компонента, и марганца (пирофанитовый компонент). Нами установлены новые проявления аномальных по характеру парагенетических ассоциаций хромита и ильменита, которые ранее обнаружены в петрогенетически родственных ультрамафитах массивов Чапесвара и Ляварака [Barkov et al., 2020]. Аномальное развитие этих парагенезисов связывается с прогрессирующей конверсией $Fe^{2+} \rightarrow Fe^{3+}$, обусловливающей относительный рост значений Mg#, что является отражением резкого возрастания уровня f_{O_2} в системе и проявляется в значительно более магнезиальных по составу фазах ильменита, сосуществующих с менее магнезиальным хромитом. В достаточно характерном выражении такая аномалия развита в Chr-Ilm парагенезисе в обр. КНN-2, где проанализированы два типовых кристалла хромита, содержащих экссолюционные (ламеллярные) фазы сосуществующего с ним ильменита. Составы двух зерен хромита определены по данным микрозондового анализа методом волновой спектрометрии: TiO₂ 1.74, 1.68, $Al_{2}O_{3}\ 1.00,\ 0.90,\ Cr_{2}O_{3}\ 39.80,\ 38.65,\ V_{2}O_{3}\ 0.30,\ 0.27,\ FeO_{oбщ.}\ 53.37,\ 54.47,\ MnO\ 0.69,\ 0.69,\ MgO\ 1.53,\ 1.39,\ MgO\ 1.53,\ MgO\ 1.53,$ NiO 0.20, 0.23, ZnO 0.26, 0.22, сумма = 98.90, 98.49 мас. %. Формулы этих кристаллов, рассчитанные на основе четырех атомов кислорода и принципа баланса зарядов, имеют вид: $(Fe_{0.93-0.94}^{2+1}Mg_{0.08}Mn_{0.02}$ $Zn_{<0.01}Ni_{<0.01})_{\Sigma1.04}(Cr_{1.12-1.15}Fe_{0.70-0.74}^{3+}Ti_{0.05}Al_{0.04}V_{\le0.01})_{\Sigma1.96}O_4$. Значения индекса Mg# составляют 7.4—8.1. Обращают внимание довольно высокие значения содержаний окисного железа и, соответственно, индекса $Fe^{3+\#}$ (43.0—44.1). По всей вероятности, уровень f_{O_2} в системе был довольно высок уже на стадии нуклеации кристаллов хромита, однако рост $f_{\rm O_2}$ между тём продолжился и даже усилился к завершающему этапу формирования Chr-Ilm парагенезиса с кристаллизацией аномально магнезиальных ламеллей ильменита из остаточного расплава, обогащенного накопившимся титаном. Такой сценарий убедительно подтверждается развитием в той же ассоциации прожилковидных, пластинчатых и игольчатых выделений гематита. Составы разных текстурных форм гематита в обр. КНN-2 довольно постоянны: ТіО2 <0.01, Al₂O₃ 0.13, Cr₂O₃ 0.19—0.22, V₂O₃ 0.01—0.02, FeO_{общ.} 90.11—90.32 (Fe₂O_{Звыч.} 101.18—101.23), MnO 0.02, MgO 0.37—0.54, NiO < 0.01, ZnO 0.06, сумма = 101.13—101.28 мас. %, соответствуя формулам $(Fe_{1.99}^{3+}Mg_{0.01-0.02}Zn_{<0.01}Cr_{<0.01}V_{<0.01})_{\Sigma 2.00}O_3.$

Представительные составы выделений ламеллярного ильменита, образующего экссолюционные включения во вмещающем хромите двух ранее обсуждаемых кристаллов, следующие: TiO₂ 52.02, 52.45,

Таблица 5. Результаты электронно-микрозондовых анализов ильменита из ультрамафитов массива горы Ханлаута (мас. %)

№ п/п	№ пробы	TiO ₂	Al ₂ O ₃	Cr ₂ O ₃	V_2O_3	FeO _{общ.}	MnO	MgO	NiO	ZnO	Сумма
1	KHN-2	51.72	0.02	0.82	0.49	43.00	0.96	2.42	0.06	Н.п.о.	99.49
2	KHN-2	51.19	Н.п.о.	0.60	0.44	43.85	0.96	2.26	0.05	0.03	99.38
3	KHN-14	52.11	»	0.31	0.48	43.58	0.90	2.32	0.09	0.01	99.79
4	KHN-14	51.67	»	0.19	0.47	43.74	1.07	2.21	0.11	0.02	99.47
5	KHN-14	51.82	»	0.24	0.45	43.75	1.02	2.24	0.11	0.02	99.65
6	KHN-16	52.15	»	0.20	0.59	44.91	0.73	1.42	0.03	0.06	100.08
7	KHN-16	51.83	»	0.18	0.51	45.27	0.72	1.32	0.03	0.03	99.89
8	KHN-17	52.03	»	0.14	0.47	44.80	1.58	1.25	0.05	0.01	100.33

 $Al_2O_3 < 0.01$, Cr_2O_3 1.78, 1.64, V_2O_3 0.52, 0.45, FeO 41.01, 39.73, MnO 0.90, 0.86, MgO 4.21, 4.81, NiO 0.10, 0.06, ZnO 0.03, < 0.01, сумма = 100.57, 100.0 мас. % соответственно. Их формулы имеют вид ($Fe_{0.81-0.84}$ $Mg_{0.15-0.18}Mn_{0.02}Ni_{<0.01}Zn_{<0.01})_{\Sigma 1.01-1.02}(Ti_{0.96-0.97}Cr_{0.03}V_{0.01})_{\Sigma 1.00-1.01}O_3$. Значения Mg# составляют 15.2 и 17.4, что почти вдвое превышает величину индекса магнезиальности хромита, сосуществующего с ильменитом в качестве минерала-хозяина. Картины сканирования (см. рис. 5, δ , e) также показывают значительное обогащение магнием в узких пластинчатых выделениях ильменита экссолюционного происхождения.

Гематит и твердый раствор с эсколаитом

Таблица 6. Результаты электронно-микрозондовых анализов гематита из ультрамафитов массива горы Ханлаута (мас. %)

№ п/п	№ пробы	TiO ₂	Al ₂ O ₃	Cr ₂ O ₃	V ₂ O ₃	Fe ₂ O _{3выч.}	FeO _{общ.}	MnO	MgO	NiO	ZnO	Сумма
1	KHN-1	Н.п.о.	0.02	0.15	0.05	100.77	90.35	0.05	0.14	Н.п.о.	0.03	100.87
2	KHN-5	»	0.04	0.15	Н.п.о.	101.07	90.85	Н.п.о.	0.05	0.01	Н.п.о.	101.22
3	KHN-6	»	0.03	0.24	0.01	101.04	90.67	0.04	0.10	0.03	0.01	101.24
4	KHN-7	0.01	0.41	0.19	0.04	101.35	86.62	0.02	2.55	Н.п.о.	0.02	100.02
5	KHN-8	Н.п.о.	0.40	0.14	0.02	101.66	89.54	0.03	1.05	0.03	Н.п.о.	101.39
6	KHN-9	»	Н.п.о.	0.08	Н.п.о.	101.62	91.28	0.05	0.06	Н.п.о.	»	101.65
7	KHN-10	»	0.01	0.22	»	101.84	91.51	Н.п.о.	0.03	0.09	»	102.05
8	KHN-12	»	Н.п.о.	0.12	»	102.17	91.86	0.02	0.03	Н.п.о.	»	102.26
9	KHN-13	»	0.04	0.22	»	101.57	91.30	0.02	0.04	»	0.01	101.80
10	KHN-14	»	0.03	Н.п.о.	»	101.37	90.53	0.09	0.32	»	0.03	101.15
11	KHN-14	1.47	0.15	15.08	0.23	84.55	75.82	0.26	0.46	0.46	0.07	102.45
12	KHN-14	Н.п.о.	Н.п.о.	0.17	Н.п.о.	98.63	88.51	0.07	0.08	0.04	0.01	98.74
13	KHN-15	»	»	0.17	»	102.14	91.85	Н.п.о.	0.03	Н.п.о.	0.02	102.29
14	KHN-17	»	0.01	Н.п.о.	0.01	101.93	91.31	0.03	0.21	»	Н.п.о.	101.78
15	KHN-20	»	0.03	0.03	Н.п.о.	101.37	91.03	0.04	0.08	»	»	101.35

Сульфидная ассоциация

Сульфидные минералы слагают моно- и дифазные зерна размерностью до 0.1 мм (см. рис. 5, 6—z). Они значительно обогащены никелем и представлены двумя минеральными видами: кобальтсодержащим пентландитом и хизлевудитом. Формулы пентландита стехиометричны; значения Ni/Fe (атом.) составляют 0.9—1.3 (табл. 7). Содержание кобальта в составе пентландита (n = 32) сильно варьирует от 1.00 до 16.74 мас. %, что соответствует значениям от 0.13 до 2.22 атомов Со на формульную единицу (в расчете на сумму 17 атомов). Эпизодически отмечаются повышенные содержания меди (1.7—6.8 мас. %). Составы хизлевудита (n = 10) весьма близки идеальной формуле (Ni_3S_2) с небольшой, но устойчивой примесью железа (0.64—1.96 мас. %).

Кобальтсодержащий пентландит является основным сульфидным минералом в массивах Чапесвара и Падос-Тундра, где в ассоциации с ним локально развит миллерит [Barkov et al., 2017a,b, 2021]. Он также

Таблица 7. Результаты электронно-микрозондовых анализов сульфидных минералов в ультрамафитах массива горы Ханлаута (мас. %)

№ п/п	№ пробы	Мине- рал	Fe	Ni	Со	Cu	S	Сумма
1	KHN-4	Pn	29.76	35.58	1.28	Н.п.о.	32.93	99.55
2	KHN-4		31.34	34.97	1.00	0.03	32.98	100.32
3	KHN-10		30.53	35.41	1.24	Н.п.о.	33.07	100.25
4	KHN-11		29.00	34.97	3.24	»	33.06	100.27
5	KHN-15		26.60	35.75	4.64	»	33.41	100.40
6	KHN-15		26.67	35.70	4.55	»	33.34	100.26
7	KHN-18		30.95	33.40	1.72	0.54	33.37	99.98
8	KHN-18		32.64	32.26	1.76	0.22	33.49	100.37
9	KHN-19		21.98	28.26	16.73	0.03	32.50	99.50
10	KHN-19		24.25	30.77	12.04	Н.п.о.	32.44	99.50
11	KHN-20		29.64	32.40	1.18	3.74	33.46	100.42
12	KHN-20		29.74	36.28	1.31	0.02	33.16	100.51
13	KHN-4	Hzl	1.79	71.09	0.01	Н.п.о.	26.52	99.41
14	KHN-11		0.97	72.79	0.02	»	26.90	100.68
15	KHN-19		1.92	71.59	0.12	»	26.59	100.22

Формульные соотношения

№ п/п	№ пробы	Fe	Ni	Со	Cu	Σ	S	Ni/Fe
1	KHN-4	4.14	4.71	0.17	_	9.02	7.98	1.1
2	KHN-4	4.33	4.60	0.13	< 0.01	9.06	7.94	1.1
3	KHN-10	4.22	4.66	0.16	_	9.04	7.96	1.1
4	KHN-11	4.01	4.60	0.42	_	9.04	7.96	1.1
5	KHN-15	3.67	4.69	0.61	_	8.97	8.03	1.3
6	KHN-15	3.69	4.69	0.60	_	8.97	8.03	1.3
7	KHN-18	4.28	4.39	0.23	0.07	8.96	8.04	1.0
8	KHN-18	4.49	4.22	0.23	0.03	8.97	8.03	0.9
9	KHN-19	3.08	3.77	2.22	< 0.01	9.07	7.93	1.2
10	KHN-19	3.39	4.10	1.60	_	9.09	7.91	1.2
11	KHN-20	4.09	4.26	0.15	0.45	8.95	8.05	1.0
12	KHN-20	4.10	4.76	0.17	< 0.01	9.03	7.97	1.2
13	KHN-4	0.08	2.92	< 0.01	_	3.00	2.00	
14	KHN-11	0.04	2.96	< 0.01	_	3.00	2.00	
15	KHN-19	0.08	2.92	< 0.01	_	3.00	1.99	_

Примечание. Формульные соотношения рассчитаны на основе суммы 17 атомов в формулах пентландита (Pn) и 5 атомов в формулах хизлевудита (Hzl).

отмечается в ассоциации с минералами серии кобальтин—герсдорфит в ультрамафитах горы Карека-Тундра (наши данные). Таким образом, сульфидная минерализация массива горы Ханлаута разделяет Сосодержащий, высоконикелевый характер, присущий другим представителям Серпентинитового пояса.

ОБСУЖДЕНИЕ РЕЗУЛЬТАТОВ И ВЫВОДЫ

Особенности кристаллизации массива горы Ханлаута

Наши данные свидетельствуют о приповерхностной кристаллизации скрытозонального тела массива горы Ханлаута, сложенного гарцбургитом и резко подчиненным ортопироксенитом, в результате внедрения сравнительно небольшого объема коматиитового расплава. Микро- и тонкозернистые структуры ультрамафитов с наличием обнаруженных проявлений столбчатой отдельности и вероятных кристаллитов оливина хорошо согласуются с субвулканической природой исследованного тела. Характер его зональности показывает, что первоначально формировалась зона I, сложенная более высокомагнезиальными ассоциациями оливина и хромшпинелидов. Фронт кристаллизации продвигался в западном направлении с формированием зоны II из более фракционированного расплава заметно меньшей магнезиальности. Кристаллизация тела начиналась с выделения наиболее магнезиальных фаз оливина и хромшпинелидов, затем ортопироксена, который замещался и трансформировался в ассоциацию тремолита и подчиненного антофиллита, отражая эффективное накопление кальция и воды в остаточном флюиде на стадии автометасоматоза. Как обсуждалось ранее [Barkov et al., 2019], наблюдаемый процесс развития кальциевого амфибола тремолит-актинолитовой серии по ромбическому пироксену существенно отличается от более обычных проявлений «уралитизации», связанных с замещением клинопироксена. Примерные оценки температуры формирования парагенетической ассоциации тремолита и антофиллита в массиве горы Ханлаута составляют ~700—800 °C, что согласуется с экспериментальными данными. Ассоциация энстатит + кварц конвертируется в антофиллит в присутствии воды в системе при 670—800 °C и давлении 2 кбар [Fyfe, 1962], тогда как тремолит формируется при 840 °C и 6 кбар [Jenkins et al., 2013]. Близкая температура кристаллизации ассоциирующего клинохлора определяется верхним пределом его термальной стабильности: ≤880 °C [Chernosky, 1974]. В массивах Серпентинитового пояса клинохлор особенно развит в стратиформных хромититах интрузива Падос-Тундра, в которых тесно ассоциирует с минералами ЭПГ [Barkov et al., 2017b, 2021]. Столь же интересны проявления «первичного» клинохлора, формирующего кристаллографически ориентированные ламелли в зернах акцессорных хромшпинелидов комплекса Чапесвара [Barkov et al., 2020].

Породы массива горы Ханлаута чрезвычайно бедны сульфидами, что может указывать на низкие содержания серы в исходном расплаве. В ходе фракционной кристаллизации коматиитовой магмы сера (являясь несовместимым компонентом) могла относительно накапливаться. Интересно отметить, что при модальном содержании сульфидов менее 0.5 % фракционированный расплав при кристаллизации плагиоклазсодержащих дунитов Йоко-Довыренского массива (Забайкалье) оказался, тем не менее, сильно пресыщен относительно уровня растворимости серы в расплаве [Ariskin et al., 2016]. Мы полагаем, что содержания S в системе существенно и локально возросли лишь на заключительных стадиях кристаллизации. Зерна и срастания кобальтсодержащего пентландита с хизлевудитом (и гематитом, см. рис. 5, г) формировались из гидротермального флюида на субмагматической стадии. Вероятные температуры формирования сульфидного парагенезиса могут быть оценены в ~600 °C. Максимальная термальная стабильность хизлевудита (556 °C) близка пентландиту (610 °C) и несколько повышается для обогащенных кобальтом фаз пентландита: ~630 °С [Craig, Scott, 1974]. Высокотемпературная форма пентландита (полиморфа кубической модификации) стабильна до 865 °C [Sugaki, Kitakaze, 1998], однако маловероятна для нашей ассоциации, поскольку нестабильна и трансформируется в «обычный» пентландит с понижением температуры. Тесная ассоциация сульфидных фаз с гематитом (см. рис. 5, 6, c) свидетельствует об их кристаллизации при высоких уровнях f_{O_2} , превышающих значения магнетит-гематитового буфера, что согласуется с развитием аномальных Ilm-Hem парагенезисов в этих ультрамафитовых ассоциациях. Мы допускаем, что окислительные условия обусловливали сравнительный дефицит Fe^{2+} в системе, вызванный конверсией $Fe^{2+} \rightarrow Fe^{3+}$, в связи с чем сульфидные парагенезисы формировались на основе экстракции других дивалентных катионов (Ni, Co, Cu), обусловливая тем самым высоконикелевый состав сульфидной минерализации. Ранее эти положения выдвигались в отношении генезиса высоконикелевой минерализации хромититов на примере массива Падос-Тундра [Барков и др., 2021; Barkov et al., 2020, 2021]. Прогрессивный рост значений $f_{\rm O_2}$ связывается с потерей системой водорода в результате везикуляции (отделения микропузырей) и диссоциации Н₂О, произошедших в ходе дегазации и снижения общего давления при кристаллизации коматиитовой магмы в субвулканической обстановке [Barkov et al., 2019, 2020, 2021].

Палеопротерозойская субвулканоплутоническая ассоциация района Падос-Тундра

Полученные минералого-геохимические данные со всей объективностью указывают, что субвулканическое тело ультрамафитов массива горы Ханлаута является петрогенетически родственным дифференцированным силлам Чапесвара-I и II. Таким образом, эти субвулканические интрузии и крупный изверженный массив Падос-Тундра формировались из существенно единой коматиитовой магмы Alнедеплетированного типа и принадлежат к единой субвулканоплутонической ассоциации [Barkov et al., 2019, 2021]. Эта магма сочетает в своем составе чрезвычайно высокую магнезиальность, повышенные содержания Fe и Cr, что нетипично, и имеет весьма низкие содержания Al, Ca, показывая характерную деплетированность всех спектров РЗЭ и ВЛЭ.

Расслоенный массив Падос-Тундра и сопровождающие его тела комагматичных субвулканитов (горы Ханлаута, Чапесвара-I и II, Лотмвара-I и II, Малый Падос и др.) локализованы у границ двух крупных вещественно-структурных компонентов Фенноскандинавского щита (см. рис. 1): палеопротерозойского Лапландского гранулитового террейна (пояса) и Беломорского составного террейна архейского возраста [Балаганский, Глебовицкий, 2005; Балаганский и др., 2016]. Становление вулканоплутонической ассоциации района Падос-Тундра связано с развитием коллизионного меланжа пояса Танаэлв, подстилающего Лапландский гранулитовый террейн, который является составной частью палеопротерозойского Лапландско-Кольского коллизионного орогена (см. рис. 1). По нашим экспедиционным наблюдениям, дифференцированные силлы субвулканитов комплексов Чапесвара и Лотмвара отчетливо контролируются складчато-надвиговыми зонами северо—северо-восточного простирания. Таким образом, инъекция примитивной коматиитовой магмы происходила здесь с весьма значительных глубин зоны магмогенерации вдоль системы взаимно субпараллельных региональных складчатых зон.

Массив Падос-Тундра, обнажающийся на том же уровне эрозионного среза, что и субвулканиты массивов гор Ханлаута и Чапесвара, должно быть также кристаллизовался на сравнительно небольших глубинах. Вместе с тем ультрамафитовая интрузия Падос-Тундра обладает существенно более значительными объемами родоначальной магмы и принципиально иной, лополитообразной формой магматической камеры, что способствовало более масштабной, длительной и эффективной кристаллизационной дифференциации с формированием дунитовой и ортопироксенитовой зон [Barkov et al., 2017а, 2021]. Нашими исследованиями последних лет отрицаются ранее высказанные предположения, что массив Падос-Тундра может представлять собой альпинотипный комплекс или сохранившиеся нижние (ультрамафитовые) зоны расслоенной интрузии, средние и верхние (габброидные) зоны которой денудированы. Мы полагаем, что интрузия имеет все же дунит-гарцбургит-ортопироксенитовый состав и в своем нынешнем состоянии в полной мере отражает исходное геологическое строение и структуру. Массив Малый Падос, тесно ассоциирующий с массивом Падос-Тундра [Мамонтов, Докучаева, 2005; Вагкоv еt al., 2017а], с учетом новых экспедиционных исследований рассматривается нами в качестве самостоятельной, крупной субвулканической интрузии, петрогенетически родственной массиву горы Ханлаута и силлам комплекса Чапесвара.

Коматиитовый источник магматизма мегаструктуры Серпентинитовый пояс—пояс Тулппио

Хотя ультрамафитовые комплексы мегаструктуры Серпентинитовый пояс—пояс Тулппио (СП— ПТ) имеют трансрегиональное распространение, характерна локализация основных представителей (Падос-Тундра, Чапесвара-I и II, Лотмвара-I и II, Ханлаута и др.) в исследуемом районе в зоне развития коллизионного меланжа пояса Танаэлв (см. рис. 1). Массив Падос-Тундра палеопротерозойского возраста 2485 ± 77 млн лет [Серов и др., 2018] является крупнейшим и ключевым, «реперным» объектом не только Серпентинитового пояса Кольского полуострова, но и всей единой, межрегиональной структуры палеопротерозойского коматиитового вулканизма (дунит-гарцбургит-ортопироксенитовых интрузий и сопровождающих субвулканитов), включающей однотипные комплексы ультрамафитов пояса Тулппио в Финляндии [Radiometric age..., 2001]. Масштабы межрегионального палеопротерозойского коматиитового вулканизма, вовлекающего интрузии и субвулканиты СП—ПТ, столь значительны, что вполне соответствуют определению «крупная изверженная провинция». Формирование коматиитовых интрузий провинции, вероятно, проходило при внедрении мантийного плюма СП—ПТ. Вероятные механизмы магмообразования в мантийных плюмах охарактеризованы в работе [Рябчиков, 2003]. Центральная часть плюма СП—ПТ предположительно соответствует наиболее масштабным проявлениям ультрабазитовых производных коматиитового вулканизма, сформировавшего наиболее крупные массивы этой мегаструктуры: Падос-Тундра—Малый Падос, соседствующие с ними силлы Чапесвара, Лотмвара, зональное коматиитовое тело горы Ханлаута и другие петрогенетически родственные тела района. Приуроченность к предполагаемым центральным зонам плюма выражается в высокомагнезиальных составах дифференциатов, кристаллизовавшихся из высокомагнезиальной АІ-недеплетированной коматиитовой магмы, значительном развитии хромититов (массив Падос-Тундра), а также в максимально форстеритовых составах оливина массивов Падос-Тундра (Fo_{93}) и Чапесвара (Fo_{92}) [Barkov et al., 2017а, 2019, 2021; Барков и др., 2021].

По нашим предварительным данным, магнезиальность пород Серпентинитового пояса значительно понижается (до 22.67 мас. % MgO) в западном направлении. В реликтовых фрагментах зерен оливина массива горы Карека-Тундра значения Fo падают ниже 80—84 и достигают 72—77. Данные ультрамафиты и их региональные эквиваленты, скорее всего, формировались в периферийных зонах плюма СП—ПТ.

Сопоставление с коматиитами и пикритами Фенноскандинавского щита

В пределах щита наиболее характерные и масштабные проявления палеопротерозойского коматиитового вулканизма связаны с дифференцированными потоками коматиитовых базальтов палеорифта Ветреный пояс [Куликов, 1988; Puchtel et al., 1997; Богатиков и др., 2010; Куликов и др., 2011]. Их изотопный возраст (2.4—2.45 млрд лет) синхронен весьма крупной Бураковской расслоенной интрузии в Южной Карелии [Sharkov et al., 1995; Chistyakov, Sharkov, 2008]. Родственные комплексы вулканитов (коматиитов и пикритов) и метавулканитов присутствуют в составе центрально-лапландского зеленокаменного пояса Финляндии и Северной Норвегии [Hanski et al., 2001]. Однако эти образования подвергнуты значительно большим регионально-метаморфическим преобразованиям, и потому коматииты Ветреного пояса несут более значимую петрогенетическую информацию.

Общие вариации состава оливина (Fo_{81—89}) [Куликов и др., 2011] в коматиитах Ветряного пояса (КВП) соответствуют значениям состава оливина Серпентинитового пояса, существенно уступая, однако, максимальным значениям в массивах Падос-Тундра (Fo₉₃) и «верхней контактной фации» силла Чапесвара-II (Fo₉₂) [Barkov et al., 2017a, 2019, 2021; Барков и др., 2021]. Кроме того, по ряду других основных характеристик породы КВП существенно отличаются от представителей коматиитового вулканизма Серпентинитового пояса. Так, серии КВП имеют значительно более низкую среднюю магнезиальность и обладают более значительной степенью проявленной дифференциации. Комагматы КВП варьируют по составу от собственно коматиитов (18—27 мас. % MgO) и коматиитовых базальтов (8— 18 мас. % MgO) до наиболее эволюционированных андезибазальтов (6—8 мас. % MgO). Средневзвешенный состав КВП соответствует коматиитовому базальту: 51.45 мас. % SiO₂, 0.62 TiO₂, 12.0 Al₂O₃, 10.4 FeO, 14.15 MgO, 8.96 CaO, 1.7 Na₂O, 0.46 мас. % K₂O [Куликов и др., 2011]. Отчетливо проявленное сравнительное обогащение Са и Аl сопряжено с развитием в породах КВП плагиоклаза и клинопироксена, в том числе в форме вариолитовых текстур. В породах Серпентинитового пояса эти породообразующие минералы присутствуют исключительно редко [Barkov et al., 2019]. Содержания 0.4—0.9 мас. % TiO₂ также заметно повышены в породах КВП, контрастируя с общей деплетированностью Ті в ультрамафитах Серпентинитового пояса [Barkov et al., 2019, 2021; табл. 1]. Пикриты и пикробазальты Печенгской и Онежской структур, как производные более молодого пикритового вулканизма (\sim 2.1 млрд лет), обогащены титаном еще значительнее (> 1 мас. % ТіО₃; [Куликов, 1988; Смолькин, 1992], что свойственно меймечитам Маймеча-Котуйской и других провинций [Соболев и др., 2009; Васильев и др., 2017].

Сопоставление с другими коматиитами и высокомагнезиальными вулканитами

Как отмечалось, порода «верхней контактной фации» (ВКФ) силла Чапесвара-II является наиболее вероятным и близким аналогом состава родоначальной магмы (АІ-недеплетированной коматиитовой) комплекса Падос-Тундра и других интрузий Серпентинитового пояса [Вагкоv et al., 2019, 2021]. Порода ВКФ содержит 37.04 мас. % MgO, 14.88 мас. % FeO_{обш}, и проанализированный состав оливина в ней соответствует Fo₉₂. Этот состав сопоставим с наиболее высокомагнезиальными представителями коматиитов архейского пояса Барбертон и Коммондэйл в Южной Африке, где в качестве исходных рассматриваются расплавы, содержащие расчетные значения до ~35 % MgO; подобные значения (до 30.9 мас. % MgO) определены в краевых закалочных зонах коматиитов [Arndt, 1977, 1986; Sun, Nesbitt, 1978; Nesbitt et al., 1979; Rollinson et al., 1997; Herzberg et al., 2010; Robin-Popieul et al., 2012; Wilson, 2019]. Согласно расчетам [Robin-Popieul et al., 2012], исходная магма АІ-недеплетированного коматиита района Комати содержит ~30 мас. % MgO и ~12 мас. % FeO, соответствуя первоначальной кристаллизации Fo₉₄. Аналогичная фаза (Fo₉₄) установлена в качестве максимально магнезиального состава в верхней закалочной зоне коматиитового потока Алексо, Онтарио, Канада [Arndt, 1986]. Как можно видеть, предполагаемая магма Серпентинитового пояса несколько более магнезиальна, однако повышенное содержание в ней железа приводит к вполне сопоставимым значениям индекса магнезиальности.

Следует отметить возможность регионального сосуществования производных коматиитового и пикритового вулканизма [Hanski et al., 2001] и наличие определенных сложностей уверенного разделения их производных по геохимическим и другим критериям в рамках существующей классификации [Le Bas, 2000; Hanski et al., 2001; Куликов и др., 2011]. Коматиитовые базальты Ветреного пояса (14.15 мас. % MgO) являются вероятными аналогами родоначальной магмы бураковского палеопроте-

розойского расслоенного комплекса в Карелии [Николаев и др., 1995; Куликов и др., 2011], являющегося одним из крупнейших на Балтийском щите [Chistyakov, Sharkov, 2008].

выводы

Представленные геологические и минералого-геохимические данные убеждают в самом тесном петрогенетическом родстве и комагматичности изученного нами скрыто зонального тела ортопироксенит-гарцбургитового состава массива горы Ханлаута дифференцированным силлам массивов Чапесвара и палеопротерозойского расслоенного интрузива Падос-Тундра. Эти представители субвулканоплутонической ассоциации района Падос-Тундра, входящие в мегаструктуру Серпентинитовый пояс—пояс Тулппио (СП—ПТ), формировались из примитивной, весьма высокомагнезиальной и сравнительно обогащенной хромом и железом магмы, относящейся к типу Al-недеплетированных коматиитов. Таким образом, довольно протяженная серия ультрабазитов массива горы Ханлаута (см. рис. 6, ∂) сформирована процессами аккумуляции оливина и фракционной кристаллизации коматиитовой магмы в близповерхностных условиях.

Исходная коматиитовая магма субвулканоплутонической ассоциации района Падос-Тундра может быть оценена по составу ультрамафита верхней краевой фации, ВКФ, силла Чапесвара-II [Barkov et al., 2019, 2021]. Эта магма (37.04 мас. % MgO, 14.88 мас. % FeO_{общ.}) сопоставима с наиболее высокомагнезиальными представителями коматиитов архейского пояса Барбертон в Южной Африке и, вероятно, является наиболее высокомагнезиальным представителем коматиитовых расплавов на Фенносканлинавском шите.

Субвулканоплутоническая ассоциация Серпентинитового пояса отличается существенно повышенной средней и максимальной магнезиальностью комагматов, заметно превышающей значения Ветреного пояса и родственных ему коматиит-пикритовых ассоциаций Центрально-Лапландского пояса Северной Финляндии и Северной Норвегии. Эти различия могут указывать на более значительные глубины магмогенерации коматиитов Серпентинитового пояса. Таким образом, в пределах Фенноскандинавского щита потенциально существует, помимо Ветреного пояса, другая весьма крупная, субсинхронная структура коматиитового вулканизма СП—ПТ, в которую в качестве ключевого и реперного объекта входит палеопротерозойский расслоенный комплекс Падос-Тундра.

Формирование палеопротерозойского комплекса субвулканитов и расслоенных интрузий Серпентинитового пояса и пояса Тулппио, входящих в единую крупную изверженную провинцию, связывается с внедрением крупномасштабного мантийного плюма СП—ПТ. Центральная часть плюма СП—ПТ, вероятно, соответствует наиболее крупным производным коматиитового вулканизма, представленным массивами Падос-Тундра—Малый Падос, соседствующими с ними силлами Чапесвара, Лотмвара и коматиитовыми телами горы Ханлаута. Приуроченность к центральным зонам плюма выражается высокомагнезиальными составами дифференциатов, развитием крупных зон хромититов и максимально форстеритовыми составами оливина (Fо_{92—93}) [Barkov et al., 2017a, 2019, 2021].

Авторы признательны д.г.-м.н. А.А. Арискину, д.г.-м.н. Е.В. Склярову и анонимному рецензенту за критические, но благожелательные и полезные комментарии.

Выполненное исследование поддержано РНФ (проект № 22-27-00419). Экспедиционные исследования проведены при значительном содействии С.С. Крамзаева (ЛПРМ, ЧГУ). Работа также выполнялась по государственному заданию ИГМ СО РАН и научно-исследовательским проектам Череповецкого государственного университета.

ЛИТЕРАТУРА

Балаганский В.В., Глебовицкий В.А. Лапландский гранулитовый пояс и пояс Танаэлв // Ранний докембрий Балтийского щита. СПб, Наука, 2005, с. 127—175.

Балаганский В.В., Горбунов И.А., Мудрук С.В. Палеопротерозойские Лапландско-Кольский и Свекофеннский орогены (Балтийский щит) // Вестник КНЦ РАН, 2016, № 3(26), с. 5—11.

Барков А.Ю., Мартин Р.Ф., Изох А.Э., Никифоров А.А., Королюк В.Н. Гипермагнезиальный оливин в расслоенных массивах Мончеплутон (Fo_{96}) и Падос-Тундра (Fo_{93}) (Кольский полуостров) // Геология и геофизика, 2021, т. 63 (3), с. 403—421.

Богатиков О.А., Коваленко В.И., Шарков Е.В. Магматизм, тектоника, геодинамика Земли / Ред. В.В. Ярмолюк. М., Наука, 2010, 606 с.

Васильев Ю.Р., Гора М.П., Кузьмин Д.В. Петрология фоидитового и меймечитового вулканизма Маймеча-Котуйской провинции (Полярная Сибирь) // Геология и геофизика, 2017, т. 58 (6), с. 817—833.

Виноградов Л.А. Формация альпинотипных гипербазитов юго-западной части Кольского полуострова (Нотозерский гипербазитовый пояс) // Проблемы магматизма Балтийского щита. Л., Наука, 1971, с. 147—153.

- **Докучаева В.С.** Геология и оруденение массива г. Ляварака // Геология рудных месторождений Кольского полуострова. Апатиты, Изд-во Кольского филиала АН СССР, 1981, с. 34—45.
- **Карманова Н.Г., Карманов Н.С.** Универсальная методика рентгенофлуоресцентного силикатного анализа горных пород на спектрометре ARL-9900XP // Тезисы докладов VII Всероссийской конференции по рентгеноспектральному анализу (г. Новосибирск, 19—23 сентября 2011 г.). Новосибирск, Изд-во СО РАН, 2011, с. 126.
- **Королюк В.Н., Нигматулина Е.Н., Усова Л.В.** О точности определения состава основных породообразующих силикатов и оксидов на микроанализаторе JXA-8100 // Журнал аналитической химии, 2009, т. 64, № 10, с. 1070—1074.
- **Куликов В.С.** Высокомагнезиальный вулканизм раннего протерозоя // Коматииты и высокомагнезиальные вулканиты раннего докембрия Балтийского щита / Ред. О.А. Богатиков. Л., Наука, 1988, с. 20—88.
- **Куликов В.С., Бычкова Я.В., Куликова В.В.** Ветреный пояс: тектоно- и петротип палеопротерозоя Юго-Восточной Фенноскандии // Геология Карелии от архея до наших дней. (Материалы докладов Всероссийской конференции, посвященной 50-летию Института геологии Карельского научного центра РАН. Петрозаводск, 24—26 мая 2011 г.). Петрозаводск, Изд-во Института геологии КарНЦ РАН, 2011, с. 91—103
- **Лаврентьев Ю.Г., Королюк В.Н., Усова Л.В., Нигматулина Е.Н.** Рентгеноспектральный микроанализ породообразующих минералов на микроанализаторе JXA-8100 // Геология и геофизика, 2015, т. 56 (10), с. 1813—1824.
- **Мамонтов В.П.,** Докучаева В.С. Геология и рудоносность массива Падос-Тундра на Кольском полуострове // Отечественная геология, 2005, № 6, с. 52—60.
- **Мурашов** Д.Ф. Ультрабазитовые интрузии Серпентинитового пояса (Падос-Тундра и др.) // Геология СССР, Мурманская область, геологическое описание. М., Госгеолтехиздат, 1958, т. 27, № 1, с. 318—321.
- **Никифоров А.А.** Ассоциации и тренды кристаллизации хромшпинелидов в комплексе Падос-Тундра, Кольский полуостров // Актуальные проблемы геологии, геофизики и геоэкологии. Материалы XXIX молодежной научной школы-конференции памяти члена-корреспондента АН СССР К.О. Кратца и академика РАН Ф.П. Митрофанова. Петрозаводск, Изд-во Кар. НЦ РАН, 2018, с. 76—79.
- **Николаев Г.С., Коптев-Дворников Е.В., Ганин В.А., Гриневич Н.Г.** Пространственная структура Бураковско-Аганозерского расслоенного массива и распределение петрогенных компонентов в его разрезе // Отечественная геология, 1995, № 10, с. 56—64.
- **Николаева И.В., Палесский С.В., Чирко О.С., Черноножкин С.М.** Определение основных и примесных элементов в силикатных породах методом масс-спектрометрии с индуктивно связанной плазмой после сплавления с LiBO₂ // Аналитика и контроль, 2012, т. 16, № 2, с. 134—142.
- **Рябчиков И.Д.** Механизмы и условия магмообразования в мантийных плюмах // Петрология, 2003, т. 11, № 6, с. 548—555.
- **Серов П.А., Стешенко Е.Н., Кунаккузин Е.Л., Борисенко Е.С., Баянова Т.Б.** Палеопротерозойский хромитоносный интрузив Падос-Тундра (Кольский полуостров): новые Sm-Nd данные о возрасте ритмично-расслоенной серии. Труды Ферсмановской научной сессии ГИ КНЦ РАН. Апатиты, Изд-во КНЦ РАН, 2018, с. 323—326.
- **Смолькин В.Ф.** Коматиитовый и пикритовый магматизм раннего докембрия Балтийского щита. СПб, Наука, 1992, 272 с.
- **Соболев А.В., Соболев С.В., Кузьмин Д.В., Малич К.Н., Петрунин А.Г.** Механизм образования сибирских меймечитов и природа их связи с траппами и кимберлитами // Геология и геофизика, 2009, т. 50 (12), с. 1293—1334.
- Ariskin A.A., Kislov E.V., Danyushevsky L.V., Nikolaev G.S., Fiorentini M.L., Gilbert S., Goemann K., Malyshev A. Cu–Ni–PGE fertility of the Yoko-Dovyren layered massif (northern Transbaikalia, Russia): thermodynamic modeling of sulfide compositions in low mineralized dunite based on quantitative sulfide mineralogy // Miner. Deposita, 2016, v. 51, p. 993—1011.
- **Arndt N.T.** Thick, layered peridotite–gabbro lava flows in Munro Township, Ontario // Can. J. Earth Sci., 1977, v. 14, p. 2620—2637.
 - Arndt N.T. Differentiation of komatiite flows // J. Petrol., 1986, v. 27 (2), p. 279—301.
- **Barkov A.Y., Nikiforov A.A., Martin R.F.** A novel mechanism of spheroidal weathering: a case study from the Monchepluton layered complex, Kola Peninsula, Russia // Bull. Geol. Soc. Finl., 2015, v. 87, p. 79—85.
- **Barkov A.Y., Nikiforov A.A., Halkoaho T.A.A., Konnunaho J.P.** The origin of spheroidal patterns of weathering in the Pados-Tundra ultramafic complex, Kola Peninsula, Russia // Bull. Geol. Soc. Finl., 2016, v. 88, p. 105—113.

- **Barkov A.Y., Nikiforov A.A., Martin R.F.** The structure and cryptic layering of the Pados-Tundra ultramafic complex, Serpentinite belt, Kola Peninsula, Russia // Bull. Geol. Soc. Finl., 2017a, v. 89, p. 35—56.
- Barkov A.Y., Nikiforov A.A., Tolstykh N.D., Shvedov G.I., Korolyuk V.N. Compounds of Ru–Se–S, alloys of Os–Ir, framboidal Ru nanophases and laurite–clinochlore intergrowths in the Pados-Tundra complex, Kola Peninsula, Russia // Eur. J. Mineral., 2017b, v. 29, p. 613—621.
- Barkov A.Y., Korolyuk V.N., Barkova L.P., Martin R.F. Double-front crystallization in the Chapesvara ultramafic subvolcanic complex, Serpentinite Belt, Kola Peninsula, Russia // Minerals, 2019, v. 10, p. 14.
- Barkov A.Y., Nikiforov A.A., Korolyuk V.N., Barkova L.P., Martin R.F. Anomalous chromite–ilmenite parageneses in the Chapesvara and Lyavaraka ultramafic complexes, Kola Peninsula, Russia // Period. Mineral., 2020, v. 89, p. 299—317.
- **Barkov A.Y., Nikiforov A.A., Barkova L.P., Korolyuk V.N., Martin R.F.** Zones of PGE–chromite mineralization in relation to crystallization of the Pados-Tundra ultramafic complex, Serpentinite Belt, Kola Peninsula, Russia // Minerals, 2021, v. 11, p. 68.
- Chernosky J.V., Jr. The upper stability of clinochlore at low pressure and the free energy of formation Mg-cordierite // Am. Mineral., 1974, v. 59, p. 496—507.
- Chistyakov A.V., Sharkov E.V. Petrology of the Early Paleoproterozoic Burakovsky complex, southern Karelia // Petrology, 2008, v. 16 (1), p. 63—86.
- Craig J.R., Scott S.D. Sulfide phase equilibria. Sulfide mineralogy // Rev. Miner., Mineral. Soc. Am., Washington, D.C., 1974, v. 1., p. CS1-CS110.
- **Fyfe W.S.** On the relative stability of talc, anthophyllite, and enstatite // Am. J. Sci., 1962, v. 260, p. 460—466. **Grove T.L., Parman S.W.** Thermal evolution of the Earth as recorded by komatiites // Earth Planet. Sci. Lett., 2004, v. 219, p. 173—187.
- Hanski E., Huhma H., Rastas P., Kamenetsky V.S. The Palaeoproterozoic komatiite-picrite association of Finnish Lapland // J. Petrol., 2001, v. 42, p. 855—876.
- **Herzberg C., Condie K., Korenaga J.** Thermal history of the Earth and its petrological expression // Earth Planet. Sci. Lett., 2010, v. 292, p. 79—88.
- **Jamieson H.E., Roeder P.L.** The distribution of Mg and Fe²⁺ between olivine and spinel at 1300 °C // Am. Mineral., 1984, v. 69, p. 283—291.
- **Jenkins D.M., Ventura G.D., Oberti R., Bozhilov K.** Synthesis and characterization of amphiboles along the tremolite–glaucophane join // Am. Mineral., 2013, v. 98, p. 588—600.
- Le Bas M.J. IUGS reclassification of the high-Mg and picritic volcanic rocks // J. Petrol., 2000, v. 41, p. 1467—1470.
- McDonough W.F., Sun S.-S. The composition of the Earth // Chem. Geol., 1995, v. 120, p. 223—253. Nesbitt R.W., Sun S.S., Purvis A.C. Komatiites: geochemistry and genesis // Can. Mineral., 1979, v. 17, p. 165—186.
- Nikolaeva I.V., Palesskii S.V., Kozmenko O.A., Anoshin G.N. Analysis of geologic reference materials for REE and HFSE by inductively coupled plasma-mass spectrometry (ICP-MS) // Geochem. Int., 2008, v. 46 (10), p. 1016—1022.
- Puchtel I.S., Haase K.M., Hofmann A.W., Chauvel C., Kulikov V.S., Garbe-Schönberg C.-D., Nemchin A.A. Petrology and geochemistry of crustally contaminated komatiitic basalts from the Vetreny Belt, southeastern Baltic Shield: evidence for an early Proterozoic mantle plume beneath rifted Archean continental lithosphere // Geochim. Cosmochim Acta, 1997, v. 61, p. 1205—1222.
- Radiometric age determinations from Finnish Lapland and their bearing on the timing of Precambrian volcano-sedimentary sequences / Ed. M. Vaasjoki. Geol. Surv. Finl., Spec. Paper 33, 2001, 279 p.
- Robin-Popieul C.C.M., Arndt N.T., Chauvel C., Byerly G.R., Sobolev A.V., Wilson A.A. New model for Barberton komatiites: deep critical melting with high melt retention // J. Petrol., 2012, v. 53, p. 2191—2229.
- **Rollinson H.** The Archean komatiite-related Inyala chromitite, southern Zimbabwe // Econ. Geol., 1997, v. 92, p. 98—107.
- Sharkov E.V., Bogatikov O.A., Grokhovskaya, T.L., Chistyakov A.V., Ganin V.A., Grinevich N.G., Snyder G.A., Taylor L.A. Petrology and Ni-Cu-Cr-PGE mineralization of the largest mafic pluton in Europe: the Early Proterozoic Burakovsky layered intrusion, Karelia, Russia // Int. Geol. Rev., 1995, v. 37 (6), p. 509—525.
- **Sugaki A., Kitakaze A.** High form of pentlandite and its thermal stability // Am. Mineral., 1998, v. 83, p. 133—140.
- **Sun S.-S., Nesbitt R.W.** Petrogenesis of Archaean ultrabasic and basic volcanics: evidence from rare earth elements // Contrib. Mineral. Petrol., 1978, v. 65, p. 301—325.
- **Wilson A.H.** The Late-Paleoarchean ultra-depleted Commondale komatiites: Earth's hottest lavas and consequences for Eruption // J. Petrol., 2019, v. 60, p. 1575—1620.